



Campo di ANNALISA

Aggiornamento al 31/12/2015

Il campo di Annalisa è situato nell'offshore Adriatico circa 34 km a NE di Pesaro, a una profondità d'acqua di circa 55 m, nella concessione A.C32.AG evidenziata in Figura 1.

CONCESSIONE	SCADENZA	OPERATORE	TITOLARI	QUOTA	REGIONE
A.C32.AG	30/11/24	Eni	Eni	100%	Marche

Il giacimento è costituito da una blanda anticlinale con asse in direzione NW-SE e si estende per una superficie di circa 4,2 km². La serie mineralizzata è compresa tra i 2300 e 3400 m slm e interessa 52 livelli della serie PL3 della Formazione P.to Garibaldi (Figura 2).

Il campo è stato scoperto nel 1984 con il pozzo Annalisa 1; successivamente nel 1985 è stato perforato il pozzo di appraisal Annalisa 2 per meglio definire l'assetto della struttura.

Nel novembre 1997 è stata presentata da Eni una domanda di pronuncia di compatibilità ambientale concernente la realizzazione della piattaforma Annalisa e la posa del relativo sealine di collegamento. Nel documento SIA si riportava un profilo di produzione, ottenuto dagli studi statico e dinamico di giacimento (modello Eclipse) del marzo 1997, che stimava riserve a vita intera pari a 1659 MSm³ producibili in 8 anni con un picco di produzione giornaliera di 1000 kSm³/g.

La subsidenza massima, prevista in relazione a tale profilo e valutata con un modello geomeccanico del tipo Geertsma cilindrico, è risultata essere pari a 3,2 cm (in corrispondenza del culmine del giacimento) dopo 10 anni dall'inizio produzione; alla stessa data il cono di subsidenza (linea d'isosubsidenza di 2 cm) è risultato estendersi per circa 1,6 km verso la costa.

Per tale previsione sono stati utilizzati i parametri geomeccanici che, con le informazioni disponibili a tale data, venivano considerati come più rappresentativi del comportamento della formazione, in particolare:

- comprimibilità uniassiale $C_m = 0,367 \cdot 10^{-4} \text{ bar}^{-1}$
- coefficiente di Poisson $\nu = 0,33$.



In seguito al Decreto VIA n° 3547 del 7/01/99 che approvava il programma lavori presentato, nel periodo maggio-dicembre 1999 si è sviluppato il campo perforando tre nuovi pozzi (Annalisa 3, Annalisa 4 e Annalisa 5) da una piattaforma di tipo BEAF.

La produzione di gas è iniziata nel marzo del 2000 con una portata di circa 900 kSm³/g che, però, è rapidamente declinata. In Figura 3 sono riportati gli andamenti storici della portata di gas (kSm³/g), d'acqua (m³/g) e della produzione cumulativa di gas, pari a 1792 MSm³, aggiornata al 31/12/15.

Mentre i pozzi di sviluppo hanno sostanzialmente confermato le dimensioni della struttura, la loro produttività è stata notevolmente inferiore a quanto atteso. Nei primi 4 anni d'erogazione, infatti, si è avuto un arrivo prematuro e inizialmente non previsto dell'acqua di formazione ai pozzi; tale comportamento produttivo ha, pertanto, reso necessario una revisione degli studi statico e dinamico del campo.

Con tale revisione (aprile 2005) non solo si è aggiornato il valore del GOIP che è risultato in diminuzione (*GOIP studio statico del marzo 1998 pari a 3091 MSm³, GOIP revisione studio statico dell'aprile 2005 pari a 2440 MSm³*), ma, soprattutto, si è potuto meglio calibrare il meccanismo di produzione, evidenziando una spinta dell'acquifero con conseguente sostegno della pressione nei singoli livelli messi in produzione. Ciò ha comportato una riduzione pari a circa il 46% delle riserve producibili a vita intera dal campo. Il nuovo profilo di produzione ha previsto, infatti, il recupero in 15 anni di 890 MSm³ con una graduale chiusura dei pozzi dovuta all'alta percentuale di acqua prodotta.

Nel maggio 2008 si sono di nuovo aggiornati i modelli statico e dinamico del campo di Annalisa (*Studio di giacimento - Nota Tecnica "Proposta pozzi di infilling" del maggio 2008 - rel. Eni-INPE n° 52-08*) allo scopo d'ottimizzarne la coltivazione e valutarne le residue potenzialità minerarie.

Il nuovo valore del GOIP è stato di 2637 MSm³, con un incremento di circa il 10% rispetto alla stima dell'aprile 2005.

Le riserve producibili in 21 anni sono a loro volta aumentate di circa 84% rispetto alla valutazione precedente, risultando pari a 1636 MSm³. Tale aumento è riconducibile sia a una rivalutazione delle riserve associate ai completamenti esistenti, sia al progetto di porre in produzione livelli mineralizzati non ancora sviluppati. Tale progetto è stato realizzato nel



2009 con la perforazione del nuovo pozzo Annalisa 6dir e l'esecuzione di due side-track dai pozzi Annalisa 3dir e Annalisa 5dir.

Nel maggio 2014 si sono rivisti gli studi statico e dinamico sia del campo di Annalisa, sia di quello di Annabella (*"Campi di Annalisa e Annabella - Studio di giacimento - rel.GISE n°13-14 - ottobre 2014"*). I due campi sono stati studiati congiuntamente al fine di tener conto di eventuali fenomeni d'interferenza idraulica e meccanica fra gli stessi.

Nei nuovi modelli di giacimento di Annabella e di Annalisa si è tenuto conto dei dati storici di produzione sino ad aprile 2014, onde valutare ancora le residue potenzialità minerarie di detti campi e, inoltre, individuare interventi mirati ad aumentarne il fattore di recupero finale.

In base ai risultati di questa revisione è stato perforato un side-track (Annalisa 4dirA) sul pozzo Annalisa 4dir. Nel corso del 2015 è emerso uno scostamento tra la previsione del modello Eclipse e la produzione reale del pozzo Annalisa 4dirA, scostamento consistente in una migliore performance produttiva di quest'ultimo. Il side-track Annalisa 4dirA, infatti, ha inizialmente erogato 280 KSm³/g di gas contro i 160 KSm³/g previsti da modello (Figura 4).

Per quanto riguarda il campo di Annabella si sono previsti 2 side-track dalla piattaforma; il relativo programma operativo non è stato, però, ancora definito.

Il nuovo valore del GOIP per il campo di Annalisa è stato valutato in 3966 MSm³, con un incremento di circa il 50% rispetto alla precedente stima del maggio 2008.

Sempre per il campo di Annalisa, le riserve a vita intera sono a loro volta aumentate di circa 23%, risultando pari a un volume di 2012 MSm³ di gas producibile al 2023 (Figura 4).

In Figura 5 sono riportati per il campo di Annalisa sia i profili di pressione statica di giacimento calcolati con il modello Eclipse dell'ottobre 2014, sia le pressioni statiche misurate nei livelli ritenuti più rappresentativi (PL3 B10-B12, PL3 B10-B11, PL3 G1-H1, PL3 D4a-b).

Il buon accordo fra i valori di pressione misurati e calcolati, e il fatto che le riserve già prodotte al 31/12/2015 (pari a 1792 MSm³) ammontino al 89% del totale, fanno ritenere che le attuali previsioni sul comportamento futuro del campo, in termini di produzione e pressione, abbiano un buon grado di affidabilità.



Già nel marzo 2009 è stata rivista la previsione iniziale di subsidenza, seguendo l'approccio modellistico e le metodologie di lavoro descritte nel provvedimento direttoriale del Ministero dello Sviluppo Economico del 20/03/08. Per tale nuova previsione, si sono considerati i possibili effetti d'interferenza idraulica e meccanica fra il campo di Annalisa e il campo di Annabella data la loro vicinanza (7 km ca.). La descrizione tecnica dello studio e i risultati ottenuti sono riportati in dettaglio nella "rel. Eni-TERA n° 02-09 del marzo 2009". Tali previsioni di subsidenza sono eseguite per tre diversi scenari, ognuno dei quali è stato valutato assumendo un diverso valore (Low, Medio, Up) del coefficiente di compressibilità uniassiale per i livelli soggetti a compattazione.

Una sintesi di tali risultati è presentata nella seguente Tabella 1.

Tabella 1 – Scenari di subsidenza

Scenario	2006			2022			2045		
	Max sub (cm)	Max ext A (km)	Max ext B (km)	Max sub (cm)	Max ext A (km)	Max ext B (km)	Max sub (cm)	Max ext A (km)	Max ext B (km)
Low	1	-	-	2	-	-	2	-	-
Medio	3	9	1	6	11	3	6	11	3
Up	8	13	3	18	14	5	18	15	5

In tutti i casi esaminati si può notare come la subsidenza massima a fine produzione (anno 2022) raggiunga valori modesti, e, soprattutto, come la distanza del cono di subsidenza dalla costa sia sempre superiore ai 27 km.

La recente revisione (ottobre 2014) degli studi statico e dinamico di giacimento per i campi Annalisa-Annabella ha comportato anche l'aggiornamento del relativo modello geomeccanico (rel. Eni-TERA n° 07-2014 del dicembre 2014), che è stato fatto tenendo sempre conto dei possibili effetti d'interferenza idraulica e meccanica fra i campi stessi.

Come nello studio del 2009, le nuove previsioni di subsidenza sono state fatte per tre diversi scenari, valutati assumendo differenti valori del coefficiente di compressibilità uniassiale (Lower, Middle, Upper) per i livelli soggetti a compattazione.

Le simulazioni con modello geomeccanico sono state protrate fino al 2061 (a pozzi chiusi) così da seguire nel tempo l'evoluzione della pressione nei livelli mineralizzati e negli acquiferi dopo la fine della produzione (anno 2027).

I principali risultati ottenuti sono riportati nella seguente Tabella 2:

Tabella 2 - Risultati finali: massima subsidenza ed estensione del fenomeno per i tre scenari considerati.

Scenario	1-gen-2015		Fine produzione		1-gen-2061	
	Max sub (cm)	Max estensione (km)	Max sub (cm)	Max estensione (km)	Max sub (cm)	Max estensione (km)
Lower	3	9	4	10	4	10
Middle	8	12	10	13	10	13
Upper	16	13	21	14	21	14

L'analisi di tali risultati consente di concludere che:

- il valore massimo di subsidenza è previsto verificarsi per tutti e tre gli scenari esaminati in corrispondenza del punto di coordinate 2366492 m E 4899497 m N, ed è pari a 4 cm per lo scenario Lower, 10 cm per lo scenario Middle (scenario più probabile e, quindi, assunto di riferimento) e 21 cm per lo scenario Upper;
- la massima estensione del cono di subsidenza (linea d'isosubsidenza di 2 cm) per lo scenario di riferimento risulta rispettivamente pari a 13 km (fine produzione – Figura 6) e a 14 km (fine simulazione) lungo la direzione parallela alla costa;
- la distanza del cono di subsidenza dalla costa è sempre di circa 27 km per i tre scenari (Figura 7).



A partire dai primi anni '70, Eni ha progettato e realizzato lungo la costa adriatica una rete di livellazione geometrica che, su richiesta degli Enti di Controllo a livello regionale e nazionale (Regione Emilia Romagna, Provincia di Ravenna, Comune di Ravenna e Ministero dell'Ambiente), viene rilevata da oltre un decennio con cadenza periodica. A partire dalla campagna 2011, dopo un intervallo di un anno nel 2010 (anno in cui non sono state fatte livellazioni), tale periodicità ha una cadenza triennale come raccomandato nelle *“Linee Guida per lo Studio dei Fenomeni di Subsidenza nell’Ambito dei Progetti di Sviluppo Sostenibile di Campi ad Olio e Gas”* emesse dal Dip. DMMMSA dell’Università di Padova nel 2007.

Le specifiche tecniche adottate sono quelle ora in uso per i rilievi della rete Eni e rispettano le indicazioni contenute nelle già citate linee guida emesse dall’Università di Padova.

Eni, inoltre, ha affidato la certificazione della documentazione e della metodologia utilizzata a un ente esterno, che attualmente è il Dipartimento DICAM dell’Università di Bologna.

La rete di livellazione, rilevata nel 2014 (ultimo rilievo fatto), è suddivisa nelle seguenti aree di attività:

- dorsale Adriatica, da Treviso fino a Pesaro, compreso lo sviluppo degli sbracci sul delta del Po, per un totale di circa 1100 km di sviluppo lineare;
- tratto da Pesaro a P.to San Giorgio, per un totale di circa 220 km di sviluppo lineare;
- tratto Marche-Abruzzo, da P.to San Giorgio a Pescara, per un totale di circa 110 km di sviluppo lineare.

Le operazioni si sono svolte nel periodo compreso tra giugno e ottobre 2014 sotto la diretta supervisione di tecnici Eni e degli esperti dell’ente certificatore.

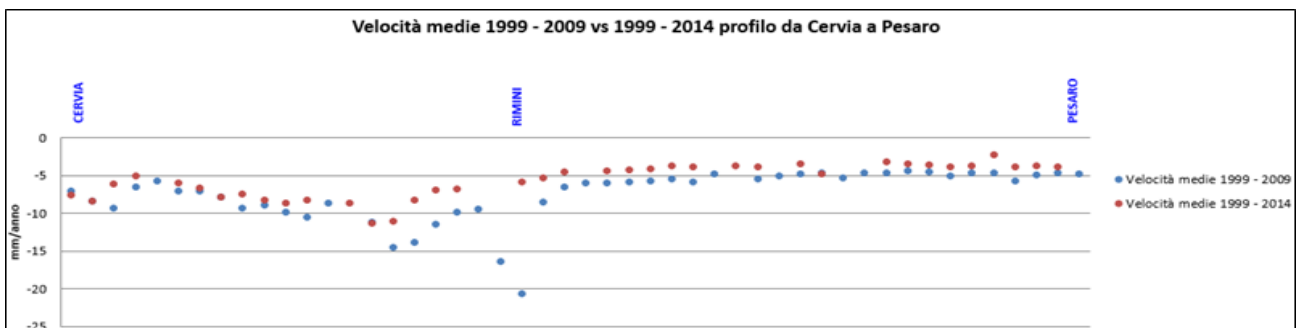
Si ritiene opportuno sottolineare che, sebbene vi siano punti di contatto tra i vari tratti di livellazione afferenti alla rete Eni, allo stato attuale non è possibile utilizzare in modo congiunto i valori di quota ottenuti sulle singole reti a causa della disomogeneità tra i capisaldi origine delle tre reti di livellazione. Per ovviare a tale situazione, determinata da fattori ambientali (grandi distanze), su suggerimento dell’ente certificatore è stata realizzata una linea di stazioni permanenti CGPS disposte a distanze regolari tra Ortona e P.to Sant’Elpidio che,

con il consolidamento dei dati CGPS, costituiranno una serie di capisaldi origine omogenei, tali da consentire d'ottenere misure di quota fra loro consistenti da Treviso a Pescara.

Per il tratto di costa da Cervia a Pesaro, monitorato per controllare la stabilità del litorale emiliano-romagnolo, sono disponibili, includendo la campagna del 2014, 12 serie di misure. Queste ultime sono state eseguite con cadenza annuale dal 1999 al 2009 (10 serie) e, successivamente a partire dal 2011, con cadenza triennale. La campagna del 2001 non è utilizzabile essendo stata acquisita con un'origine diversa rispetto a tutte le altre.

I valori di velocità media d'abbassamento del suolo, stimati con regressione lineare e relativi ai capisaldi di tale tratto di costa, sono riportati in Figura A sia per il periodo 1999-2009, che per quello 1999-2014. Il confronto fra le misure di tali periodi mostra che negli ultimi anni la velocità di abbassamento del suolo è generalmente in diminuzione; tale diminuzione è, mediamente di circa 2 mm/a e solo per pochi capisaldi supera detto valore.

Figura A –Tratto Cervia-Pesaro: velocità medie di subsidenza



Si deve osservare che i dati di livellazione, misurati sul singolo caposaldo, non sono di solito sufficienti per caratterizzare la distribuzione areale della subsidenza. Le misure sul singolo caposaldo, infatti, possono essere talvolta alterate da “disturbi” accidentali intervenuti nel tempo sul manufatto su cui i capisaldi stessi sono stati materializzati.

Al fine d'ottenere una rappresentazione areale della subsidenza o della velocità media di subsidenza V_a^1 di una certa area è necessario avere, quindi, misure di livellazione di più

¹ Nel presente rapporto di norma le velocità di subsidenza (i.e di abbassamento della superficie) sono rappresentate con valori negativi. Per comodità d'interpretazione, però, nell'elenco che segue le velocità di subsidenza sono state rappresentate con valori positivi.



capisaldi, per la cui interpretazione può convenire poi una suddivisione nelle seguenti classi di valori:

- classe 4: include i capisaldi con $V_a > 10$ mm/a;
- classe 3: include i capisaldi con $5 \leq V_a < 10$ mm/a;
- classe 2, include i capisaldi con $3 \leq V_a < 5$ mm/a;
- classe 1: include i capisaldi con $0 \leq V_a < 3$ mm/a;
- classe 0: include i capisaldi con $V_a < 0$ (sollevamento del suolo).

L'elaborazione con questo approccio delle misure di livellazione del periodo 1999-2014 mostra per l'area in esame un quadro di generale abbassamento, anche se gli attuali valori di velocità di subsidenza sono più contenuti e generalmente in leggera diminuzione rispetto a quelli misurati nelle campagne fatte fino al 2011. Il 50% dei punti, infatti, ricade nella classe 2, il 45% dei punti in quella 3 e solo il 5% (due capisaldi) hanno valori di V_a di poco superiori a 10 mm/a (11,3 mm/a come valore massimo).

Le campagne future potranno eventualmente meglio definire tale trend d'abbassamento, anche se non si possono escludere cedimenti locali dovuti a instabilità dei capisaldi stessi che saranno, comunque, oggetto di verifica durante le prossime campagne di misura.

Il confronto tra i dati CGPS della stazione che insiste sull'area in esame (Rubicone, la cui velocità media di subsidenza, stimata con regressione lineare e relativa allo stesso periodo della campagna di livellazione, è pari a 1,5 mm/a) mostra valori che, fatte salve le diverse precisioni in termini di ripetibilità e trattandosi di misurazioni spazialmente non coincidenti, sono assolutamente compatibili. Infatti, i valori di velocità media, valutati mediante regressione lineare, sui due capisaldi (02602504 e 02603300) più prossimi alla stazione CGPS sono rispettivamente pari a 0,7 mm/a e 3,1 mm/a.

Per completare il monitoraggio altimetrico del tratto di costa antistante alle piattaforme si è proceduto, inoltre, ad aggiornare la copertura SAR (settembre 2015) per un'analisi areale altimetrica integrata (Appendice 1) con i dati forniti dalle stazioni CGPS (Figura 8).



Le attività di monitoraggio sono state integrate negli ultimi anni con le misure di un numero crescente di stazioni CGPS installate sulle piattaforme offshore. Dal 2007, infatti, sono state installate stazioni CGPS sulle piattaforme di Regina e Calpurnia (giugno 2007), Anemone B (agosto 2007), Annalisa (ottobre 2007), Calipso, Clara Est e Clara Nord (novembre 2007), Annamaria A e Annamaria-B (gennaio 2010), Clara W (ottobre 2010) e Guendalina (agosto 2011); le stazioni CGPS di Naide e PCC risultano, invece, operative dal luglio 2005, mentre la postazione Naomi-Pandora è attiva dal giugno 2002. Nel 2014, sono state installate anche le nuove stazioni CGPS di Elettra, Fauzia, Barbara-E, e infine, nel 2015, è stata installata la stazione Bonaccia-NW. Le serie storiche delle stazioni installate nel 2014 e 2015, sono troppo brevi per consentire valutazioni specifiche.

Il sistema di monitoraggio è stato, poi, ulteriormente potenziato con la costruzione lungo la costa, nel tratto prospiciente i campi sopracitati, di 3 nuove stazioni altimetriche SSU (Satellite Survey Unit) equipaggiate ciascuna con un CGPS, un caposaldo di livellazione geometrica e 2 bersagli radar solidalmente connessi tra loro tramite una trave di cemento armato. Le 3 stazioni SSU sono state realizzate nelle Centrali Eni di Rubicone, di Fano e di Falconara nel dicembre 2007 (Appendice 2); negli stessi siti sono stati perforati tra ottobre e dicembre 2008 anche 3 pozzi assestometrici per il monitoraggio della compattazione superficiale del terreno. Tali stazioni si sono aggiunte a quelle preesistenti, installate più a Nord lungo la costa ravennate, nelle località di Fiumi Uniti, di Smarlacca e di Spinaroni.

Inoltre, come detto in precedenza, sono state monumentate altre 4 stazioni CGPS in Ortona, Pineto, Grottammare e P.to Sant'Elpidio, il cui completamento è avvenuto nel dicembre 2009, tutte equipaggiate con 2 bersagli radar e con un caposaldo di livellazione.

Allo stato attuale la stazione di Ortona non è più operativa dal 19 aprile 2013 per l'alienazione dell'area.

Analogamente a quanto avviene per le livellazioni, anche i dati del monitoraggio CGPS sono validati da un ente esterno. Attualmente questa attività è svolta dall'Università degli Studi di Bologna, facoltà di Fisica.

I dati CGPS acquisiti sulla piattaforma Annalisa, certificati fino al 2014, sono stati elaborati con il software scientifico Bernese dalla ditta e-GEOS (Tabella 3).



Si segnala che la serie storica di misure CGPS presenta una interruzione al 19/12/2014 causata da lavori di work-over in piattaforma e da un guasto della strumentazione che non ha permesso d'acquisire i dati nel 2015. La serie storica più completa di misure, ovvero quella estesa al dicembre 2014, è riportata nei grafici di Figura 9.

Tabella 3 - Confronto dati CGPS certificati e non certificati aggiornati al 31/12/2014

Stazione	Dati Non Certificati			Dati Certificati			Delta (Non Cert.-Cert.)		
	Vel-N mm/a	Vel-E mm/a	Vel-H mm/a	Vel-N mm/a	Vel-E mm/a	Vel-H mm/a	D-N mm/a	D-E mm/a	D-H mm/a
Annalisa	17,89	21,00	-4,73	17,94	21,19	-4,62	-0,05	-0,19	0,11

A questo proposito è opportuno precisare che l'analisi e l'interpretazione degli andamenti nel tempo delle misure altimetriche CGPS, da utilizzarsi per una verifica/taratura dei modelli previsionali di subsidenza, non può essere considerata sufficientemente attendibile per dataset relativi a periodi di osservazione inferiori ai 36 mesi, come indicato dall'Ente che certifica tali dati con cadenza biennale.

L'Ente certificatore, infatti, verifica e valida i dati registrati al fine d'avere un numero sufficiente d'osservazioni per il corretto inquadramento delle componenti periodiche, della loro incidenza sulle misure e poter filtrare il "rumore" che per piccole velocità di subsidenza è dello stesso ordine di grandezza del valore del fenomeno fisico misurato.

Serie storiche di durata inferiore ai 36 mesi possono, quindi, essere utilizzate solo per confrontare il trend degli andamenti temporali delle misure altimetriche con quello dei valori calcolati da modello previsionale, qualora si abbia una subsidenza caratterizzata da valori sufficientemente elevati. In questi casi sarà possibile monitorare solo eventuali anomalie di trend, ma non procedere a un confronto diretto dei valori attesi da modello vs. i valori misurati.

In generale:

- dataset < 12 mesi: solo follow up per monitoraggio dei dati acquisiti;
- dataset di 12÷36 mesi e
 - piccoli valori di subsidenza attesi: analisi tendenziale del fenomeno e monitoraggio delle anomalie verso il trend previsionale;



- grandi valori di subsidenza attesi: analisi tendenziale del fenomeno per calibrazione del modello previsionale;
- dataset > 36 mesi: analisi di trend e calibrazione dei modelli geomeccanici confrontando il dato di velocità di subsidenza misurato (depurato dalla velocità di subsidenza naturale) e i valori dei modelli previsionali.

Le elaborazioni sono state fatte con software scientifico Bernese 5.2, strategia OBS-MAX, utilizzando i prodotti finali (effemeridi precise e file del polo) messi a disposizione dall'IGS (International GNSS Service). Nel corso del 2013, a seguito del rilascio del nuovo sistema di riferimento, sono stati rielaborati tutti i dati secondo il sistema ITRF2008-IGB08, al quale fanno riferimento i grafici della presente relazione.

Per le nostre elaborazioni il sistema di riferimento è materializzato dalle stazioni appartenenti alla rete EUREF disponibili tra: Bucarest, Genova, Graz, Matera, Medicina, Padova, Penc, Sofia, Torino, Zimmervald. L'eliminazione degli outlier delle serie storiche è effettuata mediante test a 3 SIGMA iterativo.

Per il campo di Annalisa, sulla base di una serie storica superiore ai 36 mesi, è possibile stimare una velocità media di subsidenza totale² misurata da CGPS pari a -4,7 mm/a (Figura 9 e Figura 10), ovviamente invariata rispetto a quanto riportato nella precedente relazione d'aggiornamento in quanto, come segnalato in precedenza, non è stato possibile acquisire nuove misure geodetiche nel corso del 2015.

I valori di subsidenza previsti dal modello geomeccanico del dicembre 2014 sono stati confrontati con quelli acquisiti dal CGPS, senza che questi ultimi siano stati depurati della componente di subsidenza naturale. Come si vede dalla Figura 11, le misure CGPS si collocano sullo scenario *Middle (scenario di riferimento)*, confermando l'attendibilità dell'attuale modello di subsidenza e il carattere conservativo delle previsioni fornite.

² La "subsidenza totale CGPS" rappresenta in questo caso l'abbassamento altimetrico che il fondale marino subisce in corrispondenza della piattaforma su cui è installato il CGPS. A determinare tale "subsidenza totale" concorrono vari fenomeni: la compattazione di strati profondi per estrazione di gas (subsidenza antropica), movimenti tettonici e costipazione naturale dei sedimenti (subsidenza naturale), compattazione dei sedimenti più superficiali a fondo mare per effetto del peso della piattaforma. Quest'ultimo fenomeno è evidente soprattutto nel periodo immediatamente successivo all'installazione della piattaforma stessa.



In sintesi, le indicazioni del modello previsionale di subsidenza e i monitoraggi fatti da Eni hanno confermato come eventuali fenomeni di subsidenza connessi alla produzione di gas dal campo di Annalisa siano di piccola entità e, soprattutto, non abbiano alcun impatto sull'andamento altimetrico del tratto di costa antistante.

Si segnala infine che:

- a) in Figura 12 è presentata una scheda riassuntiva con i dati di campo e lo status dei monitoraggi;
- b) in Figura 13 è presentato un particolare della rete di monitoraggio Eni.

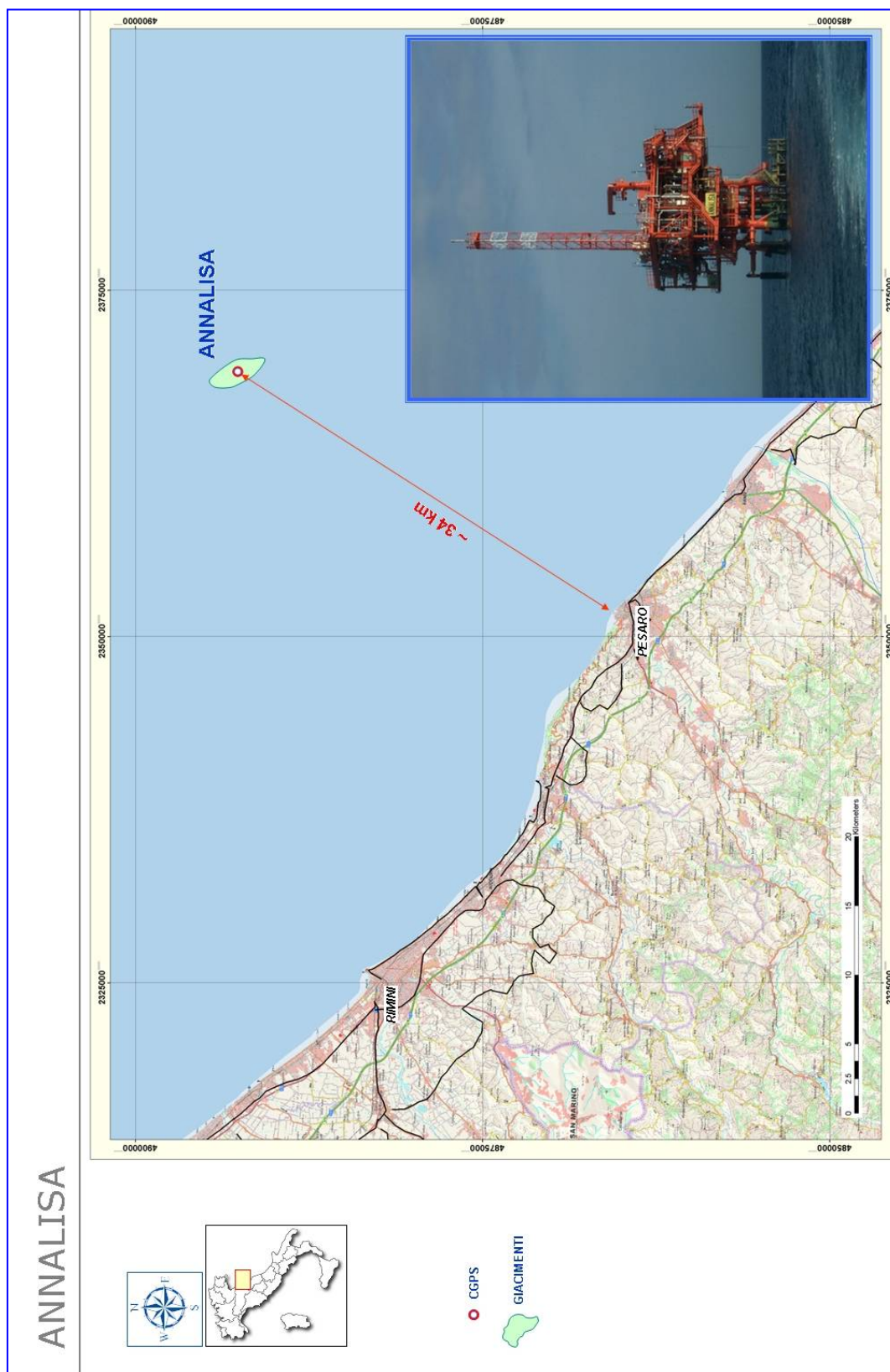


Figura 1 – Ubicazione del campo di Annalisa

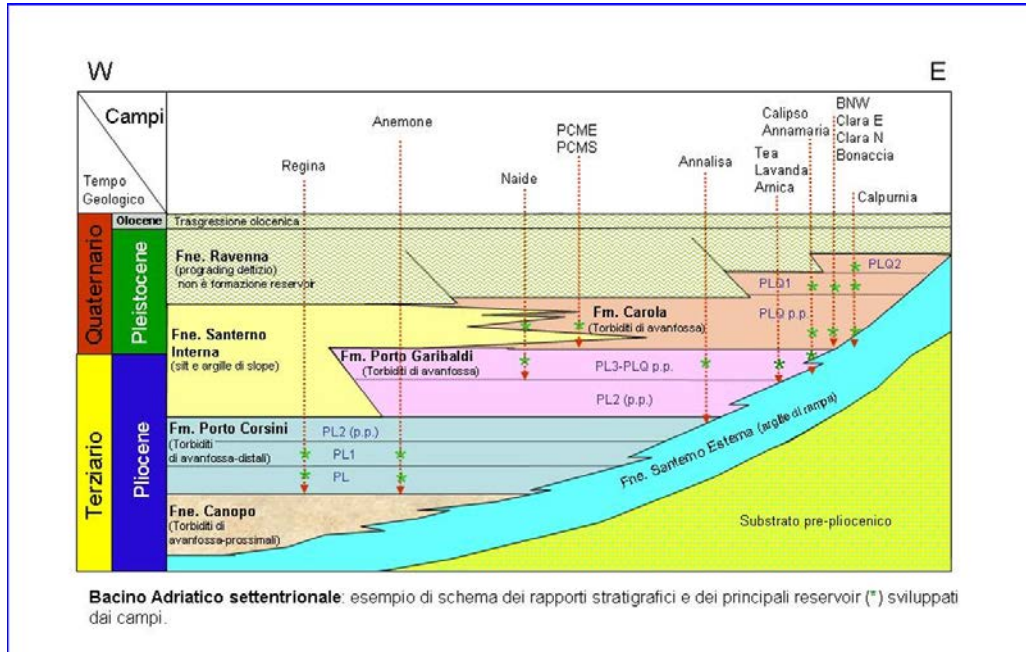


Figura 2 – Schema dei rapporti stratigrafici

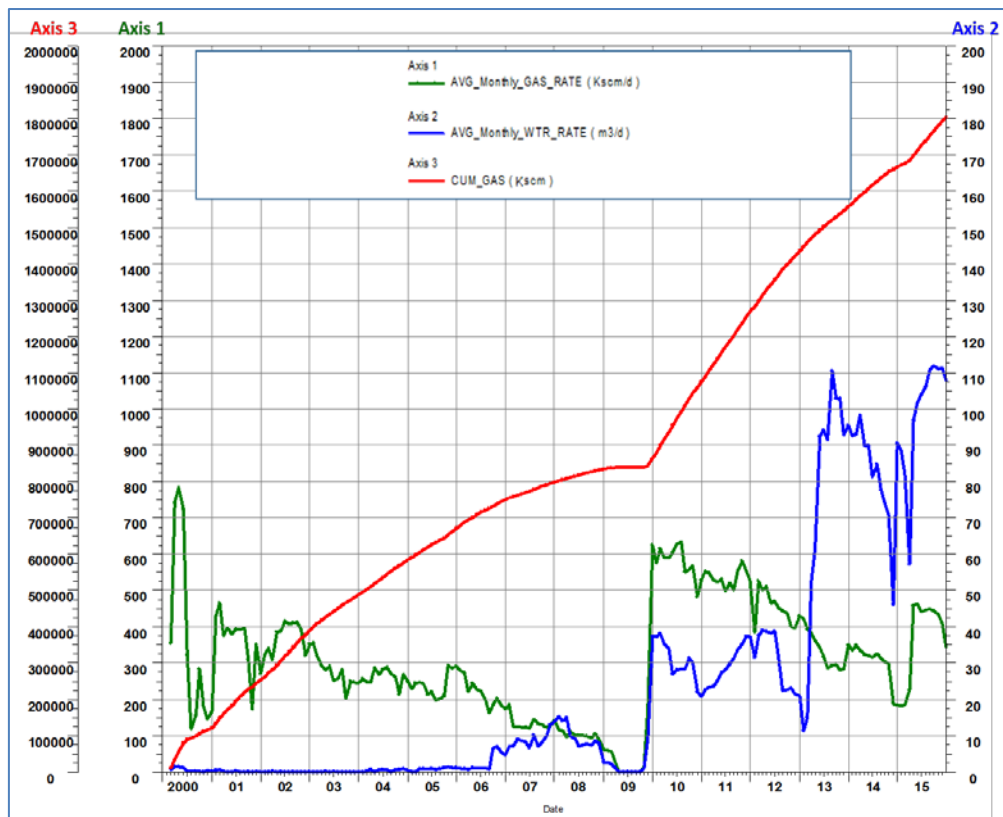


Figura 3 – Campo di Annalisa: grafico della produzione storica



Campi di Annabella e Annalisa - Studio di giacimento, Rel. GISE-13/14 (ottobre 2014)

CAMPO DI ANNALISA					
ANNO	Produzione annuale (MSm ³)		Produzione cumulativa (MSm ³)		Rapporto Produzione reale vs Riserve modello 3D ECLIPSE
	Reale	Modello 3D ECLIPSE	Reale	Modello 3D ECLIPSE	
2000	116	116	116	116	6%
2001	128	128	245	245	12%
2002	133	133	378	378	19%
2003	103	103	481	481	24%
2004	96	96	576	576	29%
2005	86	86	663	663	33%
2006	82	82	744	744	37%
2007	50	50	794	794	39%
2008	39	39	833	833	41%
2009	12	12	845	845	42%
2010	214	214	1058	1058	53%
2011	195	195	1254	1254	62%
2012	168	168	1422	1422	71%
2013	124	124	1546	1546	77%
2014	114	119	1660	1666	83%
2015	132	46	1792	1711	89%
2016		92		1804	
2017		65		1869	
2018		52		1921	
2019		22		1943	
2020		18		1960	
2021		29		1989	
2022		18		2006	
2023		5		2012	
2024					

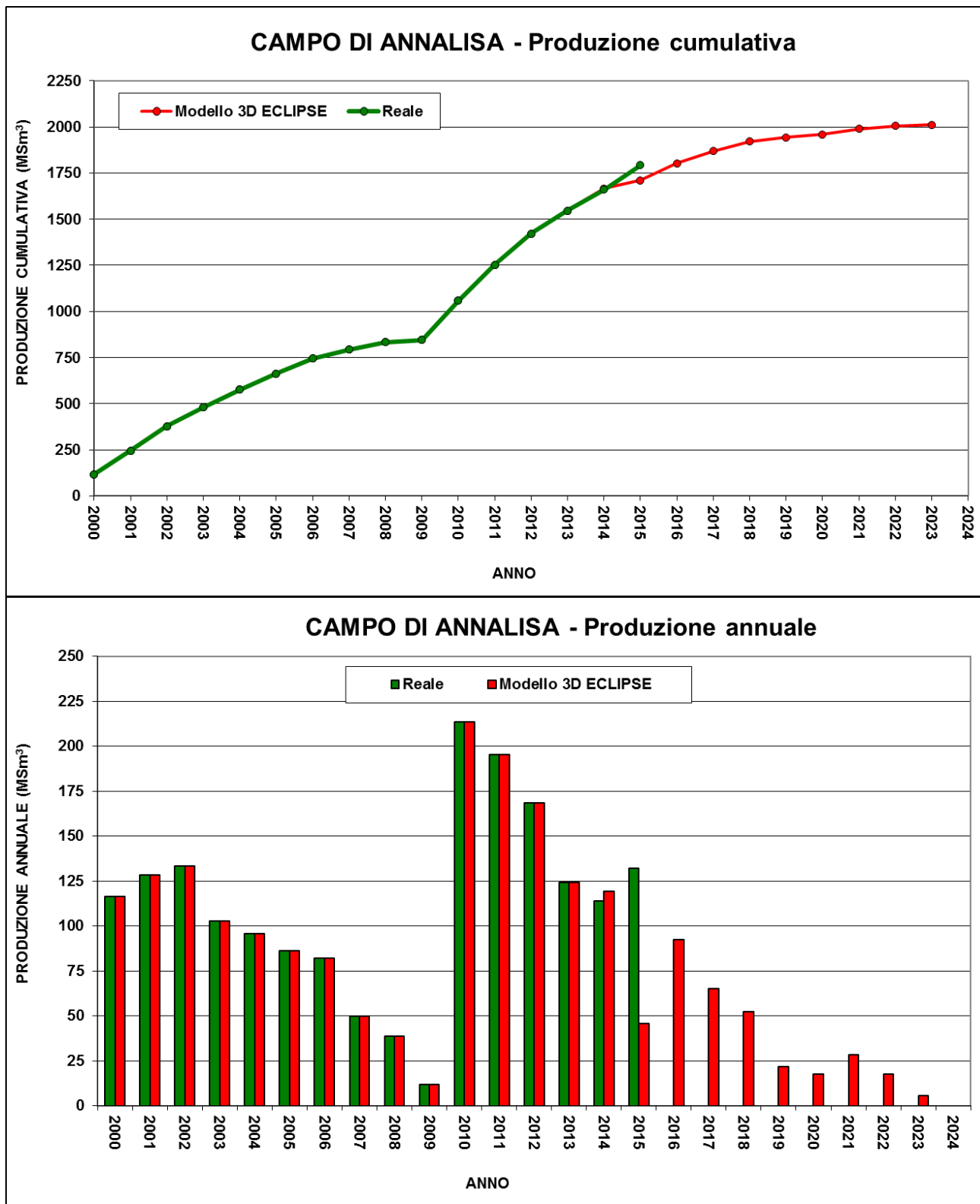


Figura 4 – Campo di Annalisa: tabella di produzione vs. modelli Eclipse 2014



CAMPO DI ANNALISA															
Data	Livelli PL3-B10+B12			Livelli PL3-B10+B11			Livelli PL3-G1+H1			Livelli PL3-D4+D4b			Livelli PL3-D4+D4b+D5a+D5b		
	Pressione (bara)	RFT in pozzo	Profilo in string	Pressione (bara)	RFT in pozzo	Profilo in string	Pressione (bara)	RFT in pozzo	Profilo in string	Pressione (bara)	RFT in pozzo	Profilo in string	Pressione (bara)	RFT in pozzo	Profilo in string
20/07/2003	223		4 C	220		5 C				253		3 L			
23/10/2006	199		4 C	192		5 C				214		3 L			
22/09/2010							285		6 L						
24/10/2012							265		6 L						
21/11/2014													231		3 L
17/10/2015													190		3 L

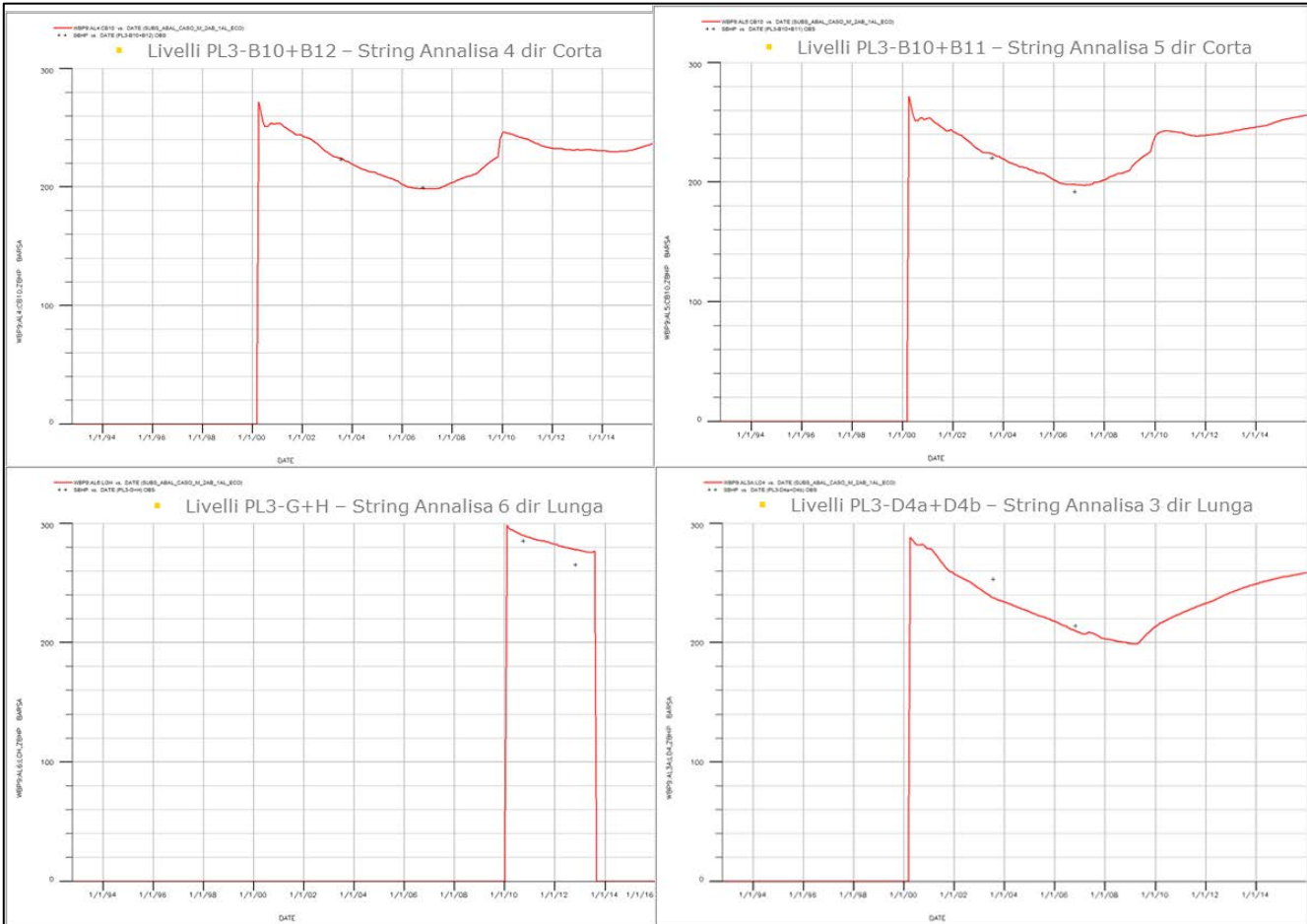


Figura 5 - Campo di Annalisa: confronto fra i dati misurati di pressione statica e i profili di pressione calcolati (modello Eclipse - Ott. 2014)

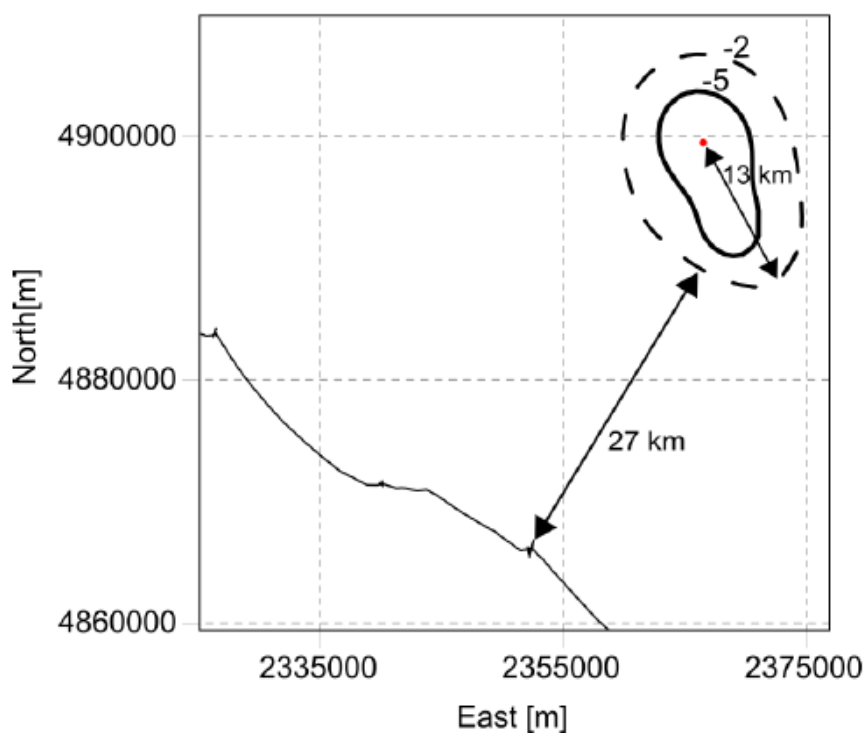


Figura 6 - Campo di Annalisa: mappa di subsidenza al 2027 (fine prod.) per lo scenario di riferimento

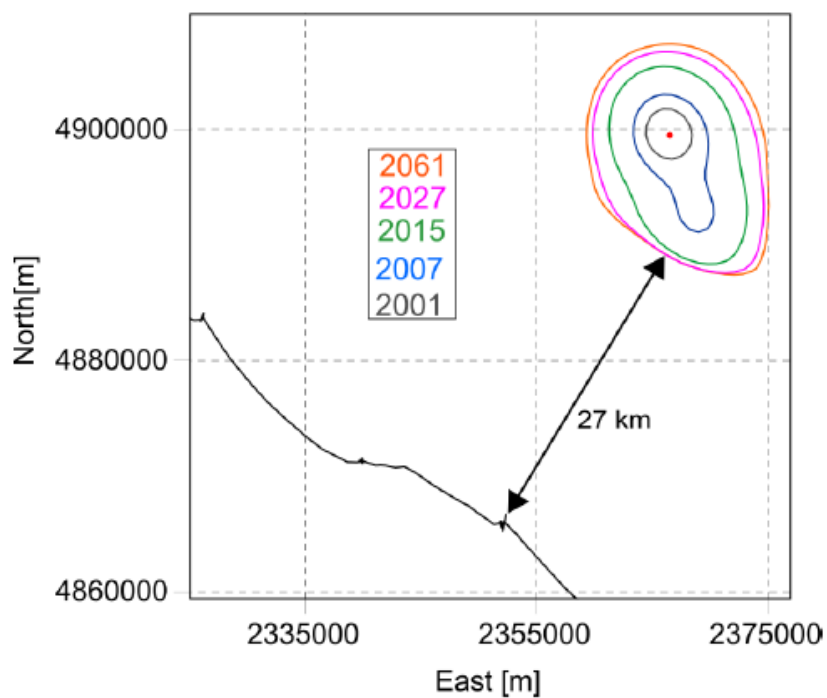


Figura 7 - Campo di Annalisa: evoluzione nel tempo della linea di iso-subsidenza di 2 cm per lo scenario di riferimento

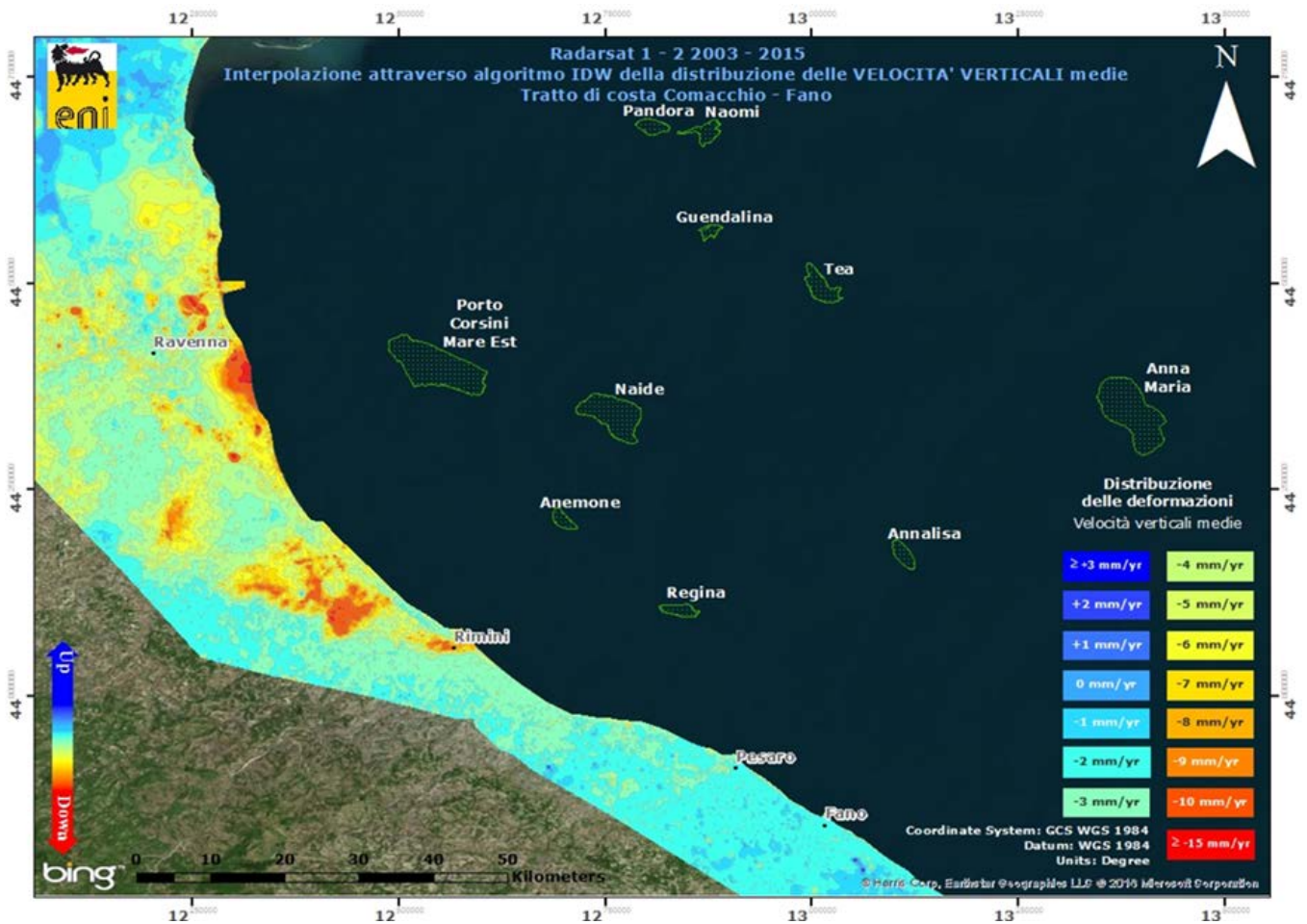


Figura 8 - Campo di Annalisa: analisi dei dati SAR dal 2003 al 2015

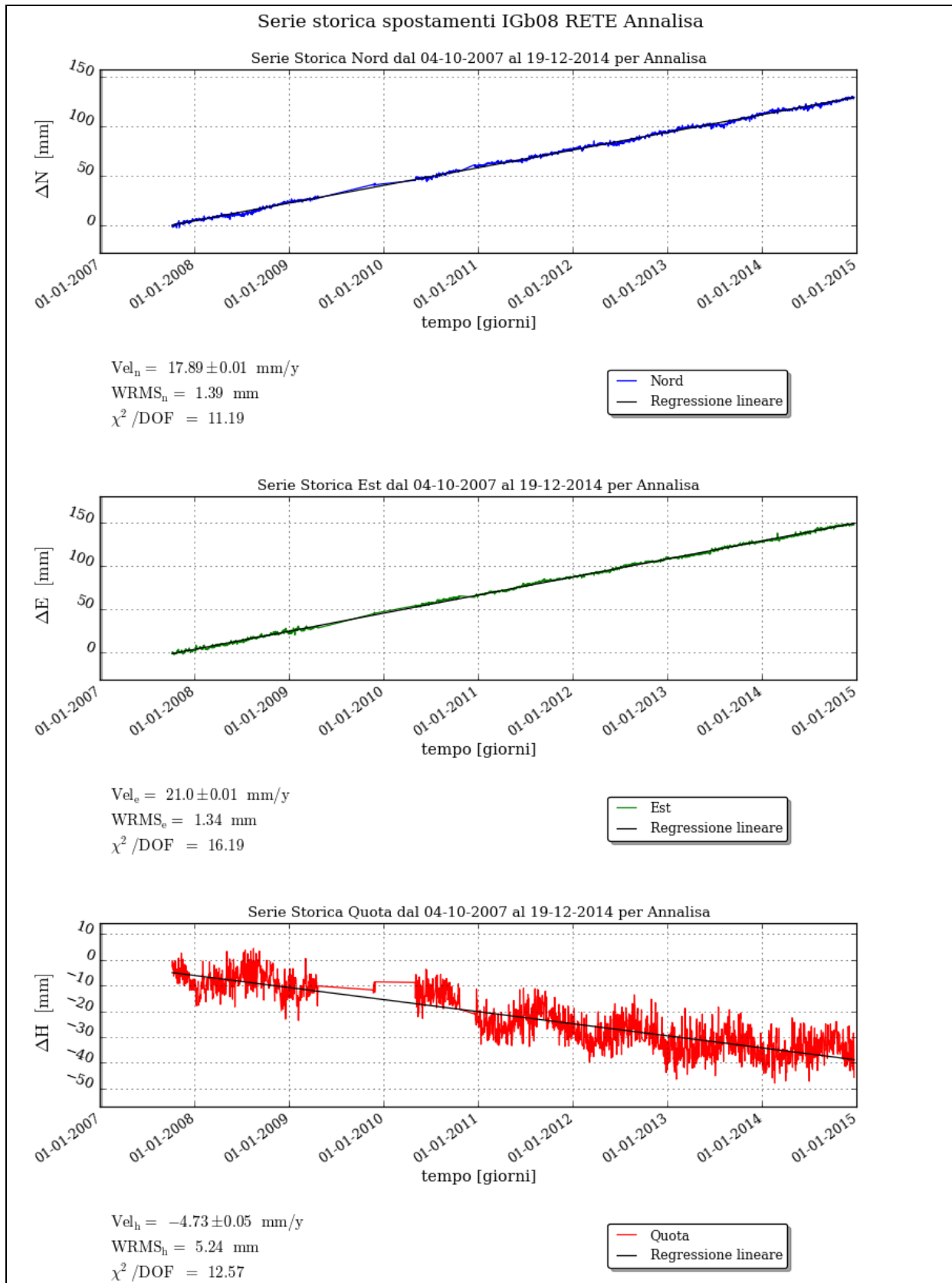


Figura 9 - Campo di Annalisa: serie storiche plano-altimetriche CGPS



CAMPO	Inizio produzione	Fine Produzione (rif. ultimo profilo di produzione - Mod. Eclipse)	Riserve prodotte @ dic.2015	Max Subsidenza prevista - scenario di riferimento	Ultimo aggiornamento studio	CGPS			
						inizio registrazione	vel.media (mm/a) @ dic.2015	TREND rispetto a dic. 2014	mesi di registrazione
ANEMONE	1978	2018	99%	-39cm al 2048	2015	giu-07	-4,9	invariato	102
ANNALISA	2000	2023	89%	-10cm al 2027	2014	ott-07	-4,7	invariato	99
ANNAMARIA B	2009	2039	61%	-51cm al 2040	2013	gen-10	-100,3	aumento	72
BARBARA-NW	1999	2029	73%	-76cm al 2024	2013	gen-08	-29,8	aumento	96
BONACCIA	1999	2036	61%	-423cm al 2033	2014	dic-07	-79,3	diminuzione	97
BONACCIA NW	2015	2036	n.d.	-423cm al 2033		set-15	n.d.	n.d.	3
CALIPSO	2002	2020	97%	-33cm al 2021	2013	nov-07	-16,2	diminuzione	98
CALPURNIA	2000	2017	100%	-54cm al 2021	2013	giu-07	-3,1	diminuzione	102
CLARA EST	2000	2030	42%	-56cm al 2026	2013	nov-07	-13,5	invariato	98
CLARA NORD	2000	2020	82%	-68cm al 2021	2013	nov-07	-24	aumento	98
ELETTRA	2014	2026	37%	-18cm al 2065	2013	lug-14	-23,25	n.d.	17
FAUZIA	2014	2024	37%	-11cm al 2060	2013	set-14	-9	n.d.	15
GUENDALINA	2011	2023	69%	-3cm al 2023	2014	ago-11	-6,4	invariato	52
NAIDE	2005	2022	84%	-8cm al 2023	2013	giu-05	-3,6	diminuzione	126
NAOMI-PANDORA	2001	2037	37%	-3cm al 2068	2013	giu-02	-1,5	invariato	162
PCME (PMS)	2001	2016	94%	-6,8cm al 2017	2012	lug-05	-3,9	invariato	125
REGINA	1997	2023	91%	-139cm al 2044	2013	giu-07	-26,9	invariato	102
TEA-LAVANDA-ARNICA	2007	2018	98%	-5cm al 2018	2015	nov-07	-4,7	diminuzione	98

Figura 10 - Velocità medie di "subsidenza totale" calcolate per tutta la serie storica di dati CGPS vs. modelli

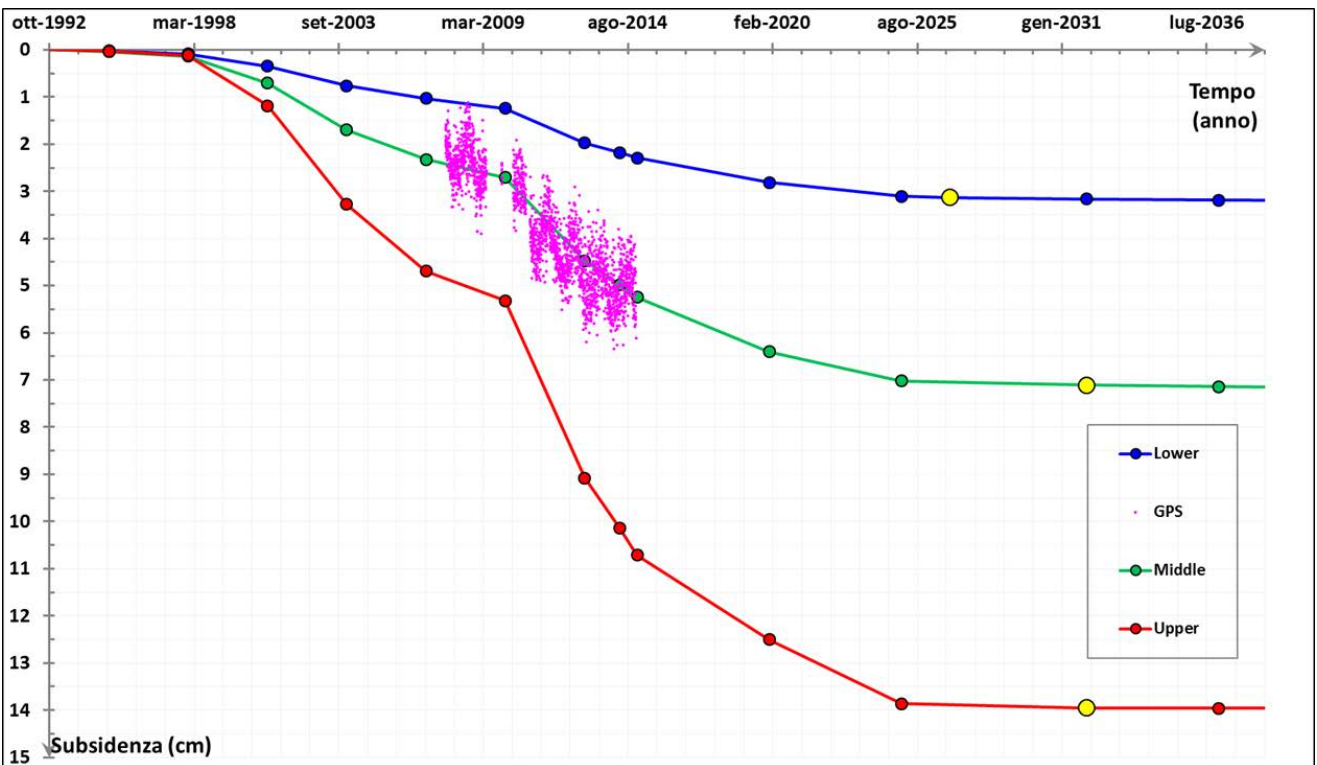


Figura 11 – Campo di Annalisa: misure CGPS vs. previsioni di subsidenza da modello geomeccanico (in corrispondenza della piattaforma)



campo ANNALISA (Eni 100%)			
DATI DI CAMPO			
DECRETO VIA n. 3547 del 7 gennaio 1999		AGGIORNAMENTO MODELLO DI GIACIMENTO E SUBSIDENZA (ANNALISA)	
SIA		ULTIMO AGGIORNAMENTO	
STUDIO DI GIACIMENTO	MOD. STATICO E DINAMICO ECLIPSE 3D "MARZO '97"	Campi di Annabella e Annalisa - Studio di giacimento, Rel. GISE-13/14 (ottobre 2014)	
RISERVE (MSm3)	1659	2012	
MOD. GEOMECCANICO	GEERTSMA CILINDRICO	ELEMENTI FINITI (F.E.M.) @ 12/2014	
MAX SUBS SUL CAMPO (cm)	3,2 (dopo 10 anni)	10 @ 2027 (scenario di riferimento-Middle)	
MAX DIST. DAL CULMINE (Km)	1,6 (dopo 10 anni)	13 @ 2061 (scenario di riferimento-Middle)	
N.B.: IL MODELLO DI SUBSIDENZA E' STATO AGGIORNATO COERENTEMENTE ALLA REVISIONE DEL MODELLO DINAMICO DI CAMPO. I RISULTATI DELLO STUDIO TENGONO CONTO ANCHE DELL'INTERFERENZA CON IL VICINO CAMPO DI ANNABELLA. LA DISTANZA DEL CONO DI SUBSIDENZA DALLA COSTA RISULTA SEMPRE SUPERIORE AI 27 KM.			
STATUS ATTUALE DEI MONITORAGGI			
LIVELLAZIONI	ACQUISITI I DATI DI LIVELLAZIONE SUL TRATTO DI COSTA (DORSALE ADRIATICA) ANTISTANTE I CAMPI NEL PERIODO 1998-2009, 2011 e 2014. I DATI SONO STATI CERTIFICATI (fino al 2011) DALL'UNIVERSITA' DI BOLOGNA - DICAM IL PROSSIMO RILIEVO DELLA "DORSALE ADRIATICA" SARA' EFFETTUATO NEL CORSO DEL 2017 NEL TRATTO DI COSTA ANTISTANTE I GIACIMENTI		
MARKERS	NON PRESCRITTI		
CGPS	NEL CORSO DEL 2007 E' STATO INSTALLATO UN CGPS IN PIATTAFORMA. NEL 2008 E' STATO INSTALLATO CGPS NELLA CENTRALE ENI DI FANO (ONSHORE) NEL TRATTO DI COSTA ANTISTANTE LA PIATTAFORMA		
SAR	ACQUISITO AGGIORNAMENTO COPERTURA SAR @ SETT.2015 DEL TRATTO DI COSTA ANTISTANTE LA PIATTAFORMA PER ANALISI INTEGRATA DEI DATI ALTIMETRICI E PER L'INSERIMENTO DELLA P.M.A ANNALISA NEL PROGRAMMA DI MONITORAGGIO DELLA SUBSIDENZA. ATTUALMENTE IN CORSO IN MOLTI GIACIMENTI DELL'ADRIATICO		
UBICAZIONE	offshore - a circa 34 Km a NE di Pesaro		
PROFONDITA' FONDALE	55 m		
LITOLOGIA	sabbie fini		
FORMAZIONE RESERVOIR	Porto Garibaldi		
ZONA MINERARIA	P13		
PROFONDITA' RESERVOIR	2300-3400 (TVDS)		
TIPO DI PIATTAFORMA	BEAF		
CARATTERISTICHE GEOLOGICHE	blanda anticlinale		
CONCESSIONE	A.C32.AG	D.M @ gen '99	@ 31 dic 2015
DATA SCADENZA CONCESSIONE	30/11/2024		
N. POZZI		3	4
RISERVE TECNICHE A VITA INTERA (MSm3)		1659	2012
START UP PRODUZIONE	mar-00		
FINE PRODUZIONE PREVISTA		2007	2023
GAS PRODOTTO (MSm3)			1792
% RISERVE PRODOTTE			89%

Figura 12 – Campo di Annalisa: scheda di sintesi



Figura 13 - Particolare della rete di monitoraggio Eni

Appendice 1: aggiornamento dati SAR 2003-2015

L'analisi dei dati SAR ha interessato complessivamente tre data-set (Fig. 1A), suddivisi geograficamente in:

1. Area di Ravenna da Porto Tolle a Cervia;
2. Area di Rimini da Cervia a Cattolica;
3. Area di Ancona da Cattolica a Civitanova Marche.

In tali aree, che presentano una piccola zona di sovrapposizione sufficiente a garantire continuità nei dati, sono ubicate le seguenti stazioni CGPS della rete Eni:

1. Area di Ravenna: Manara, Smarlacca, Spinaroni, Fiumi Uniti;
2. Area di Rimini: Rubicone;
3. Area di Ancona: Fano e Falconara.



Fig. 1A - Mappa calibrazione dati SAR



La calibrazione dei dati SAR è stata fatta con le misure CGPS acquisite nelle stazioni poste all'interno delle aree analizzate, partendo da quelle con la serie storica di dati più consistente (Smarlacca, Spinaroni e Fiumi Uniti dell'area di Ravenna).

Per il processo di calibrazione si è impiegata la misura della componente verticale della velocità d'abbassamento del suolo dell'area SAR più a nord (area ravennate), utilizzando in particolare le misure della stazione di Smarlacca. I dati acquisiti a Fiumi Uniti, a Spinaroni e in tutte le altre stazioni sono stati impiegati esclusivamente per la verifica dei risultati ottenuti.

L'analisi dei dati SAR non calibrati e acquisiti in un'area circolare (raggio di circa 150 m) intorno alla stazione CGPS di Smarlacca, ha consentito di stimare una velocità media d'abbassamento del suolo di -3,4 mm/a. Dato che la corrispondente velocità media ottenuta dalle misure del CGPS di Smarlacca è di -6,5 mm/a, si ha uno scostamento fra le due misure di -3,1 mm/a. Per tale motivo ai valori di velocità media della componente verticale, determinata con il monitoraggio SAR, stata applicata una correzione pari a -3,1 mm/a.

Si sono poi confrontati tali dati SAR con le misure dei CGPS di Manara, Smarlacca e Spinaroni considerando i punti SAR disponibili in un'area circolare (raggio pari a 200 m) intorno a tali stazioni. Il confronto ha mostrato differenze inferiori a 1 mm/a tra le misure CGPS e i dati SAR calibrati, confermando la bontà della calibrazione effettuata.

Analogamente a quanto effettuato anche negli anni precedenti, tutti gli altri data-set SAR (area di Rimini e area di Ancona, vedi Fig. 1A), acquisiti a sud di quello dell'area ravennate, sono stati calibrati confrontando tra loro le componenti verticali della velocità d'abbassamento del suolo nelle rispettive aree di sovrapposizione.

In una prima fase si sono confrontate le velocità dei punti in comune tra l'area di Ravenna (calibrata con il CGPS di Smarlacca) e quella di Rimini (non calibrata - Fig. 2A-a). Successivamente si sono calibrate le misure dell'area di Ancona (non calibrata) sulla base dei dati disponibili per le aree di Ravenna e Rimini (calibrate al passo precedente - Fig. 2A-b e 2A-c). In entrambi i casi le velocità medie verticali sono state corrette per un valore pari a circa -3 mm/a.

Per verificare la correttezza di tutto il processo, sono state poi confrontate le velocità medie calibrate dei punti SAR ricadenti in un raggio di 200 metri dalle postazioni CGPS di Fano e di

Falconara (area di Ancona) con le velocità misurate dagli stessi CGPS, anche se queste ultime misure sono relative a periodi di tempo inferiori ai dati della serie storica SAR.

Poichè i valori medi di velocità misurati dai CGPS di Fano e Falconara sono entrambi inferiori al millimetro, la differenza riscontrata con le velocità calibrate dei punti SAR è stata inferiore a -2,5 mm/a, valore che, considerata anche la diversa scala temporale, ricade nel campo d'errore strumentale di entrambi i sistemi di misura.

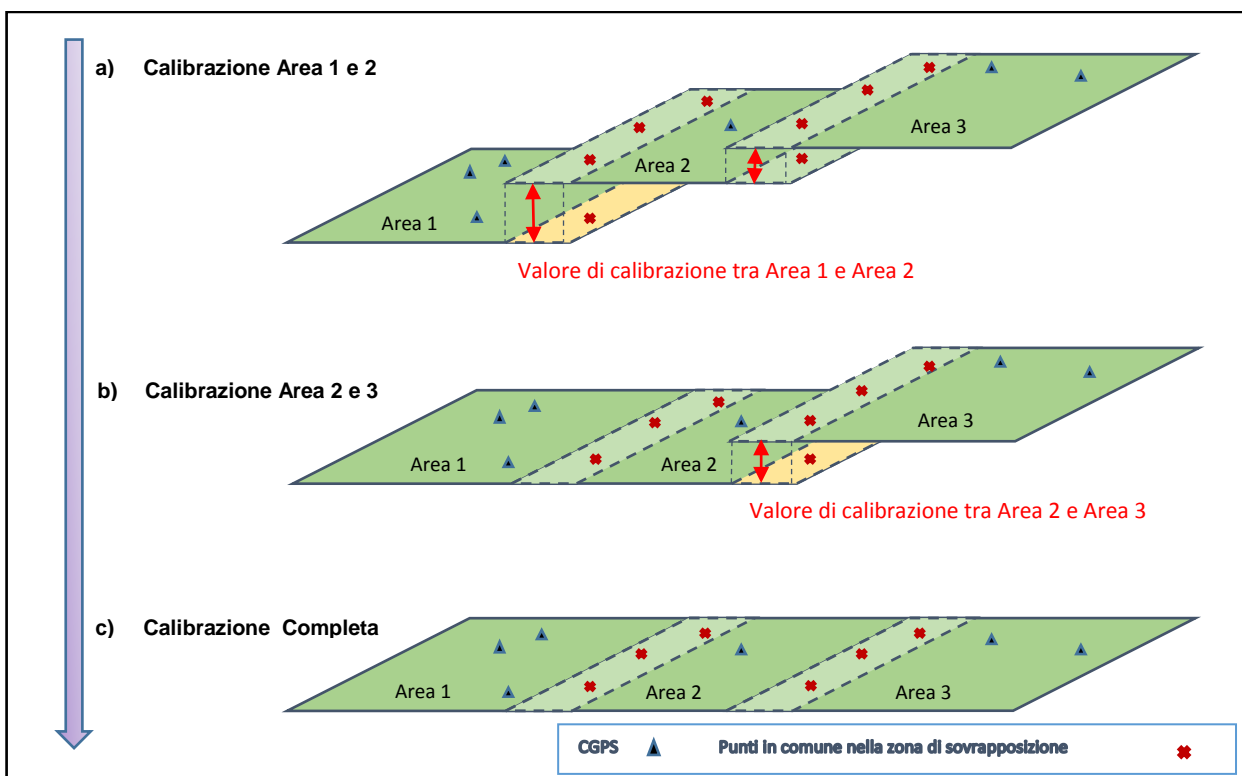


Fig. 2A – Schema illustrativo del processo di calibrazione delle immagini SAR con misure CGPS

In Fig. 3A e Fig. 4A si possono visualizzare i dati SAR ottenuti a valle del processo di calibrazione, interpolati con un algoritmo di IDW (Inverse Distance Weighted) con Tool ArcGis Spatial Analyst®.

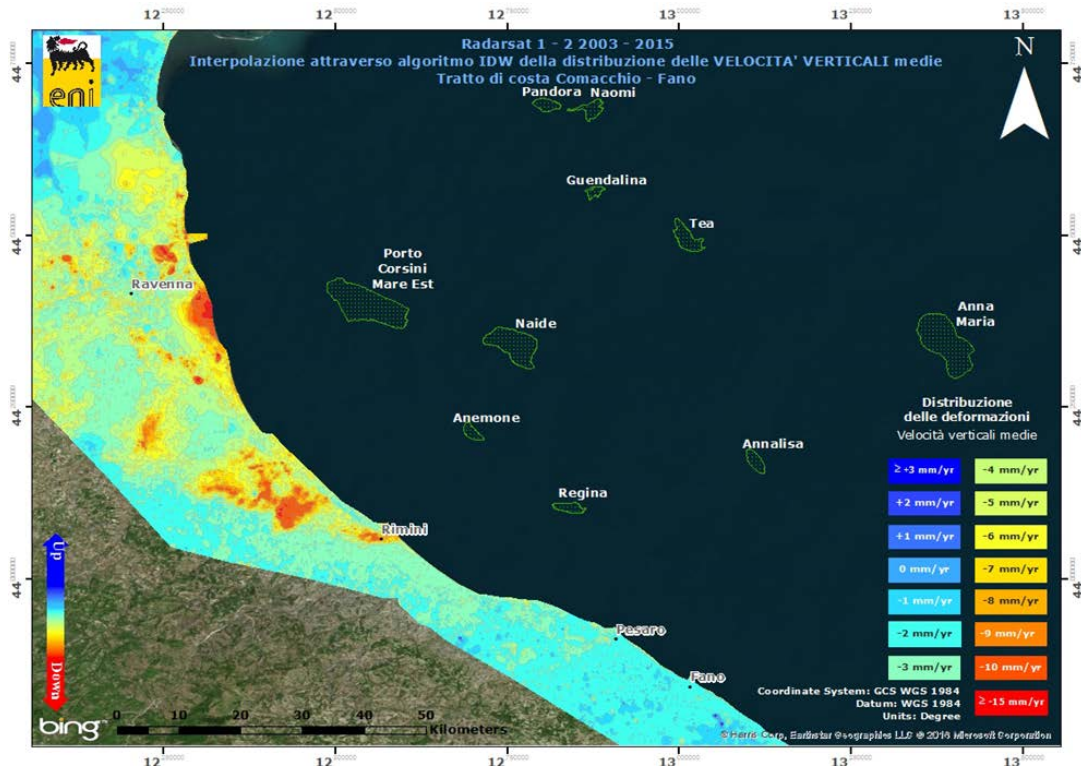


Fig. 3A –Velocità verticali medie d’abbassamento del suolo (dati Radarsat 1 – 2 calibrati) relative al tratto di costa da Comacchio a Fano: serie storica: 2003 – 2015

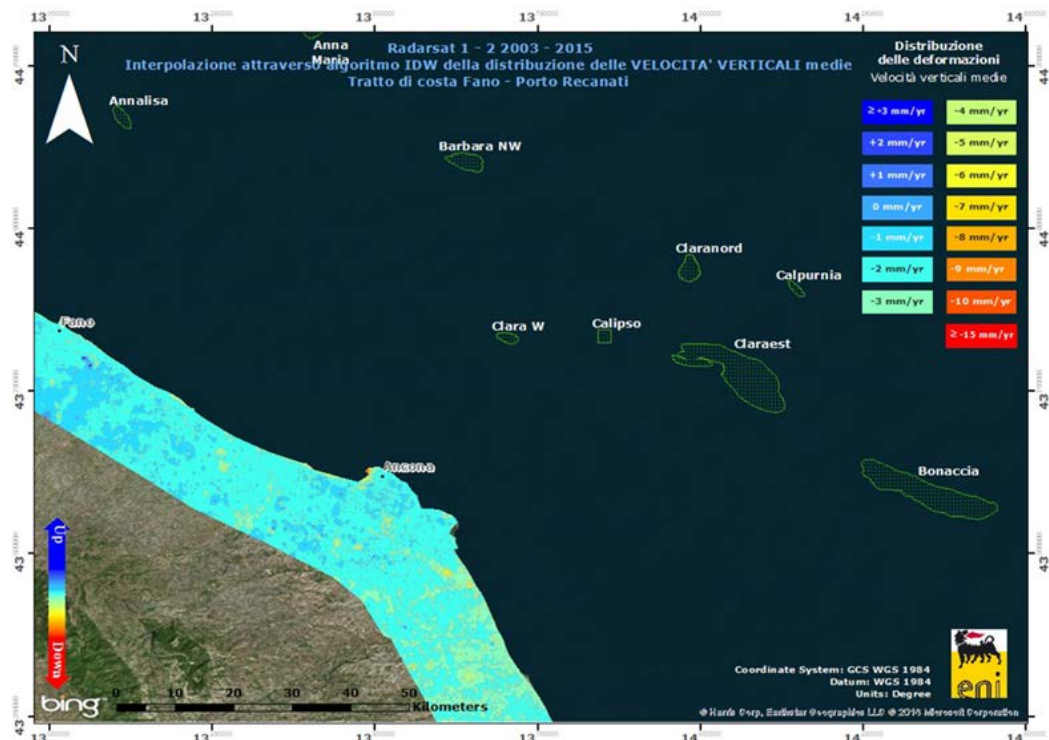


Fig. 4A –Velocità verticali medie d’abbassamento del suolo (dati Radarsat 1 – 2 calibrati) relative al tratto di costa da Fano a Porto Recanati: serie storica: 2003 – 2015

Analisi del tratto di costa da Fano a Porto Recanati

Per quanto riguarda l'area SAR di Ancona, si nota come le velocità dei CGPS di Fano e Falconara siano allineate con quelle misurate dal SAR: la differenza è, infatti, inferiore al millimetro.

Essendo i valori CGPS e SAR già perfettamente allineati, si è deciso, pertanto, di presentare un'analisi puntuale dell'area di Ancona non calibrando il dato SAR con il dataset dell'area SAR di Rimini. In Fig. 5A sono visualizzati i dati non calibrati per un confronto di dettaglio dell'area in oggetto. Come si può osservare la media delle velocità verticali misurate dal SAR sono inferiori al millimetro. Si ricorda che in questo caso i valori di velocità sono relativi a un punto di riferimento all'interno dell'area.

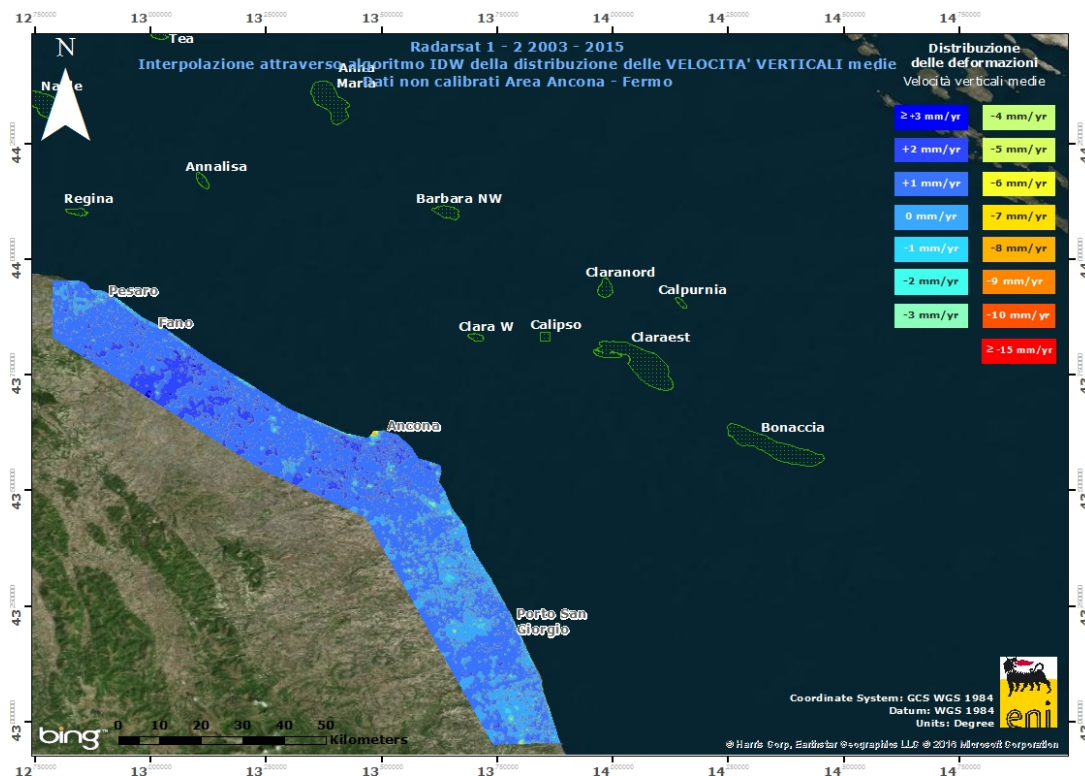


Fig. 5A- Velocità verticali medie d'abbassamento del suolo (dati Radarsat 1 – 2 non calibrati) relative al tratto di costa da Fano a Porto Recanati: serie storica: 2003 – 2015

Confronto dati SAR 2003 – 2014 vs 2003 – 2015

Per controllare il trend regionale delle aree in esame, si sono esaminate le differenze tra la mappa d'interpolazione dati derivati dal data-base 2003-2014 e quella d'interpolazione dati derivati dal data-base 2003-2015 (l'interpolazione dati è stata fatta con l'algoritmo IDW – Inverse Distance Weighted, in ambiente GIS).

Come mostrano le immagini di Fig. 6A e Fig. 7A non si notano sostanziali differenze fra i valori di velocità dei due data-set: gli scostamenti sono mediamente dell'ordine di circa -2 mm. L'unica zona per la quale si riscontrano valori anomali, dell'ordine di -10 mm, cade a nord della città di Ravenna nella zona adiacente al porto. Da un'attenta analisi si è, però, riscontrata una mancanza di dati in tale area per la scarsa coerenza del segnale SAR. Ciò ha prodotto un artefatto numerico, privo di significato fisico, nelle relative mappe d'interpolazione.

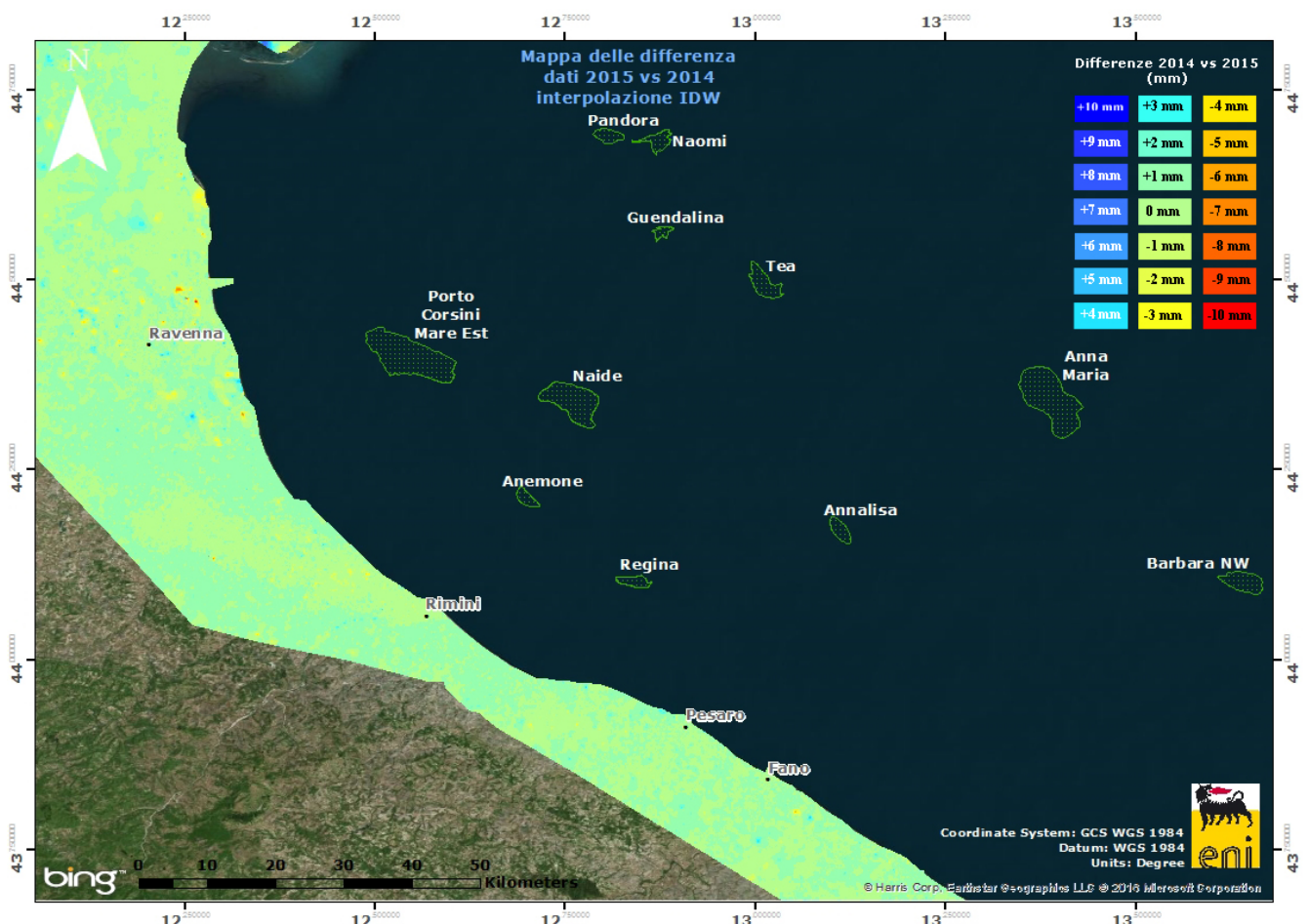


Fig. 6A – Mappa delle differenze tra i database 2003-2014 e il 2003-2015.
Tratto di costa da Comacchio a Fano

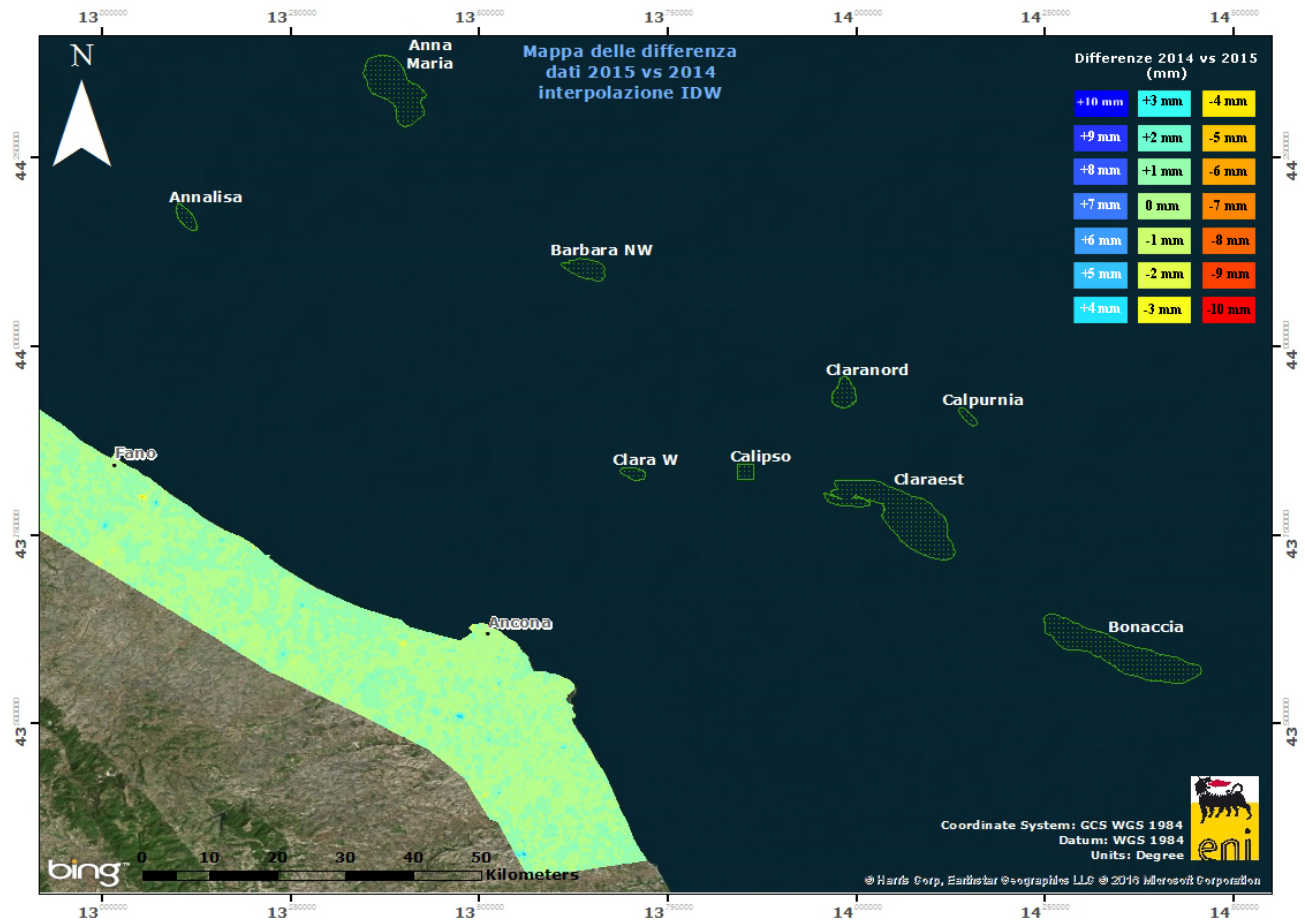


Fig. 7A – Mappa delle differenze tra i database 2003-2014 e il 2003-2015.
Tratto di costa da Fano a Porto Recanati

Appendice 2: Stazioni EPSU lungo la fascia costiera compresa tra Cervia e Ancona - aggiornamento al dicembre 2015

Il monitoraggio della compattazione superficiale, lungo la fascia costiera adriatica compresa tra Cervia e Ancona, è effettuato tramite 3 stazioni EPSU (Extensometric Piezometric Survey Unit) denominate: Rubicone, Fano e Falconara. L'ubicazione di tali stazioni, installate tra il 2008 e il 2009, è riportata in figura 2A.

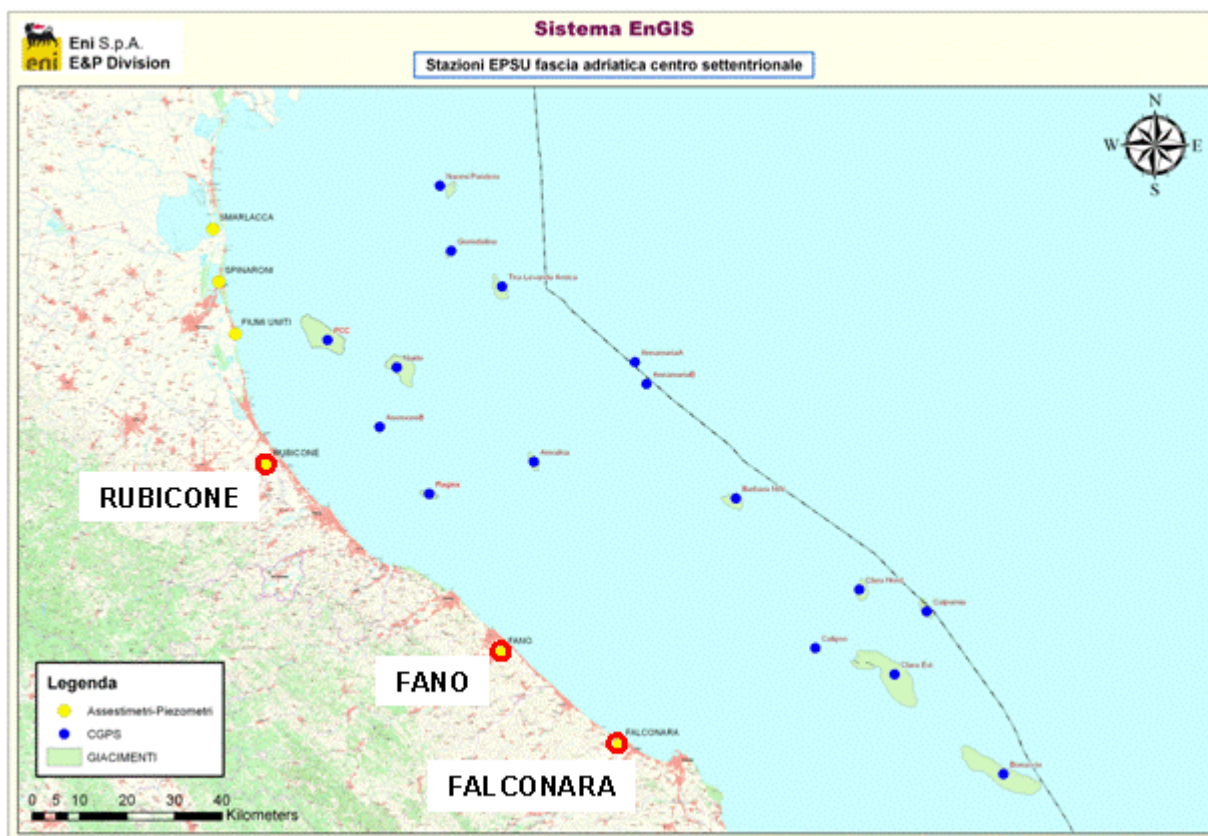


Figura 2A - Ubicazione delle stazioni EPSU.

In generale una stazione EPSU è costituita da un assesimetro, associato a uno o più piezometri, con il corredo di strumentazione meteorologica per la misura della temperatura e della pressione atmosferica (termometri sia in foro che in superficie, e un barometro in modo da compensare le misure assesimetriche per le variazioni della temperatura e pressione atmosferica) come schematicamente rappresentato in figura 2B.

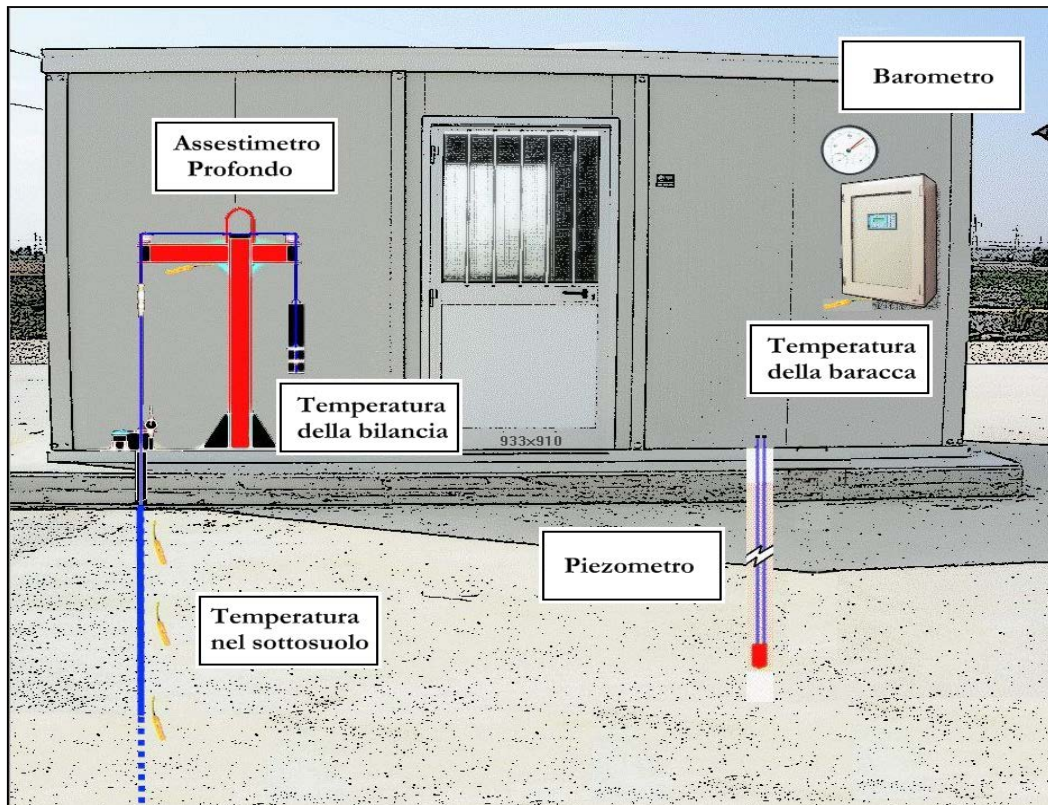


Figura 2B - Rappresentazione schematica di una stazione EPSU

Più in dettaglio, in ciascuna delle 3 stazioni EPSU sono state installati i seguenti dispositivi di misura:

Località	Pozzo	Strumentazione	Profondità (da P.C.)	Data d'installazione
Rubicone	CGRA-1	Assestimetro profondo	320 m	Gen. 2009
	CGRP-1	Piezometro cella singola	178 m	Gen. 2009
	CGRP-2	Piezometro cella doppia	146 m e 70 m	Gen. 2009
Fano	CGFNA-1	Assestimetro superficiale	40,8 m	Lug. 2008
	CGFNP-1	Piezometro superficiale	6,1 m	Lug. 2008
Falconara	CGFLA-1	Assestimetro superficiale	40,3 m	Lug. 2008
	CGFLP-1	Piezometro cella singola	22 m	Lug. 2008

Per ciascuna stazione EPSU si allegano:

1. scheda che ne descrive sinteticamente le principali caratteristiche;
2. grafico che mostra l'andamento temporale di tutte le misure;
3. file in formato excel che contiene i valori numerici di tali misure.

N.B.: Nella lettura dei dati riportati sui grafici relativi agli assestimetri, i valori positivi costituiscono la componente della compattazione (riduzione dello spessore dello strato di sottosuolo attraversato dall'assestimetro); al contrario i valori negativi costituiscono la componente dell'espansione (aumento dello spessore dello strato di sottosuolo attraversato dall'assestimetro).



Stazione EPSU di RUBICONE (installata dicembre 2009)

Strumentazione:

- assestimetro - quota bottom: 316 m da p.c.
- piezometro singolo - quota cella: 178 m da p.c.
- piezometro doppio - quota celle: 146 e 70 m da p.c.

La raccolta dati di questa stazione è iniziata l'8 aprile 2009. A tale data (in occasione del collaudo) è stato fatto "lo zero" dei sensori di misura.

I dati sono stati acquisiti con regolarità secondo la seguente frequenza:

- 8 aprile 2009 - 22 maggio 2009 una misura ogni ora,
- 22 maggio 2009 - 2 novembre 2009 una misura ogni 2 ore,
- 2 novembre 2009 - 31 dicembre 2014 una misura ogni 6 ore.

Le misure sono state fatte con alimentazione a batteria fino al 22 maggio 2009. Da tale data fino al 14 luglio 2009 non si hanno registrazioni a causa dei lavori di messa a norma della baracca secondo la normativa ATEX. Dal 14 luglio è ripreso il normale ciclo di funzionamento della stazione.

Nel 2011 c'è da segnalare un black-out dei dati per mancanza di alimentazione dell'apparecchiatura tra il 29 settembre e il 14 ottobre.

L'ultima verifica generale della strumentazione, con controlli manuali dei livelli piezometrici e taratura di tutti i sensori è stata fatta nel dicembre 2015.

Analisi dei dati assestimetrici

L'assestimetro misura la compattazione degli strati di terreno compresi tra il piano campagna (p.c.) e il punto più profondo d'ancoraggio dello strumento (316 m da p.c.).

Nei grafici allegati sono riportati sia i dati piezometrici, sia quelli assestimetrici per un confronto relativo. I dati relativi all'assestimetro sono espressi in millimetri e riportano gli spostamenti misurati rispetto a un valore base iniziale ("misura di zero"). Tale misura è quella dell'8 aprile 2009, data di collaudo del sistema. Valori positivi degli spostamenti nel grafico dell'assestimetro indicano, quindi, una compattazione, valori negativi, viceversa, un incre-



mento dello spessore (i.e. espansione) degli strati di terreno monitorati.

Nel caso della stazione di Rubicone, l'andamento nel tempo della curva di compattazione/espansione registrata dall'assestometro si correla molto bene con le variazioni di quota delle due falde acquifere monitorate dai piezometri rispettivamente a 77 m e 150 m di profondità. Per tutto il periodo osservato si nota, infatti, un ritardo medio di circa 1,5÷2 mesi nella compattazione/espansione del terreno rispetto alla escursione massima (marzo/aprile) e minima (agosto/settembre) delle falde acquifere.

Nella stessa area della stazione assestimetrica è installata anche una postazione CGPS. Ciò ha permesso un confronto fra la velocità media d'abbassamento del suolo rilevata dai dati GPS con quella di compattazione del terreno ottenuta dalle misure assestimetriche. Tali velocità, che si riferiscono però a fenomeni fisici diversi anche se collegati fra loro, sono risultate in sostanziale accordo, soprattutto a partire dal 2012. Ciò potrebbe indicare che la causa principale d'abbassamento del suolo dipenda principalmente dalla compattazione dei primi 320 m di terreno e sia causata dalle oscillazioni stagionali delle falde acquifere.

Si segnala, inoltre, che per comodità di lettura del grafico:

- le misure del CGPS sono state filtrate con una media mobile su 50 campioni per meglio evidenziarne l'andamento;
- i valori della curva assestimetrica sono stati riportati in ordine inverso, così da renderne l'andamento coerente quello della curva GPS (spostamenti delle curve verso l'alto indicano sollevamenti del terreno e viceversa).

Analisi dei dati piezometrici

Nei grafici dei piezometri l'ordinata è la quota piezometrica (in m), ovvero la profondità del livello dell'acqua all'interno del tubo piezometrico riferita al piano campagna. Nello stesso grafico (come seconda ordinata) è riportato il valore della pressione barometrica.

Nel caso di Rubicone si notano delle effervescenze gassose nei tubi piezometrici causate dalla presenza di piccole quantità di gas nell'acqua; il fenomeno del resto era già osservato durante le operazioni di messa in opera dell'attrezzatura. Queste piccole effervescenze causano differenze di misura dei livelli d'acqua nei due tubi del piezometro profondo (pozzo

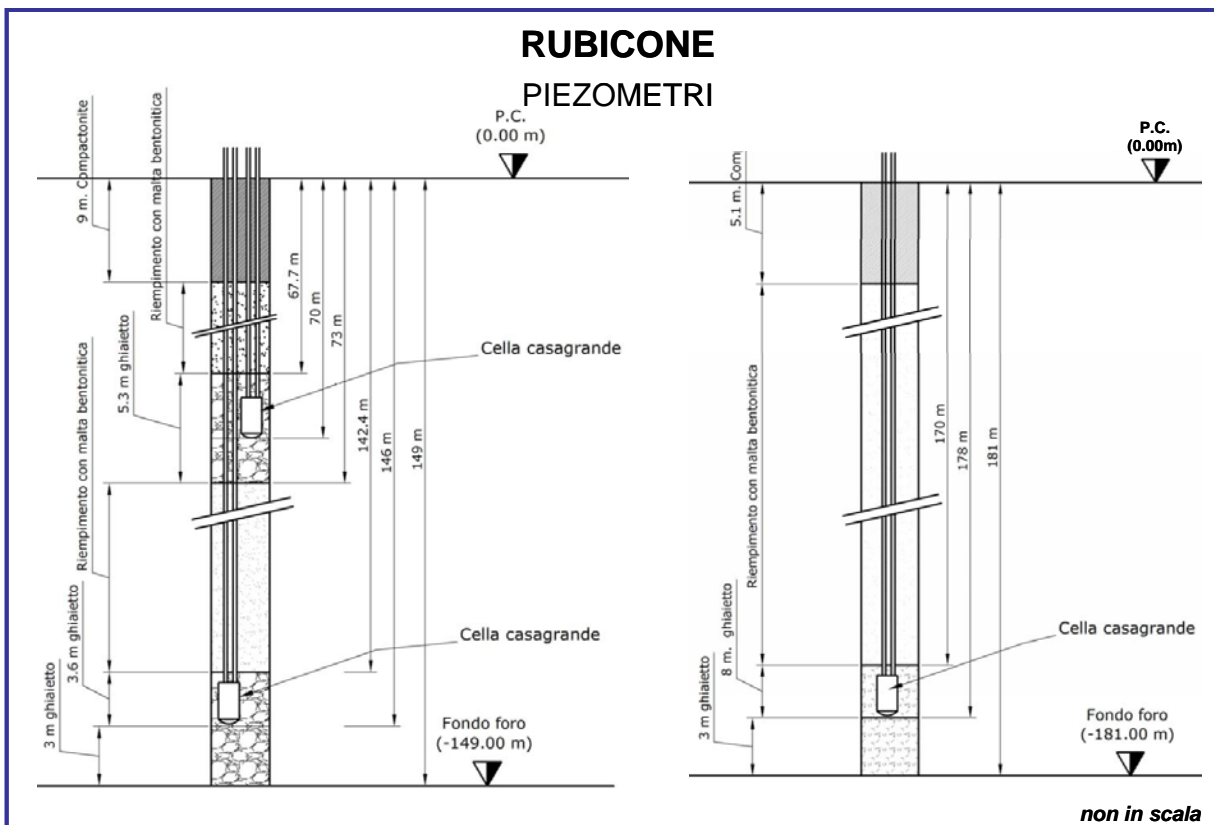


CGRP-1).

Nel mese di ottobre 2012 si sono puliti e controllati i 3 piezometri verificando il loro buon funzionamento.

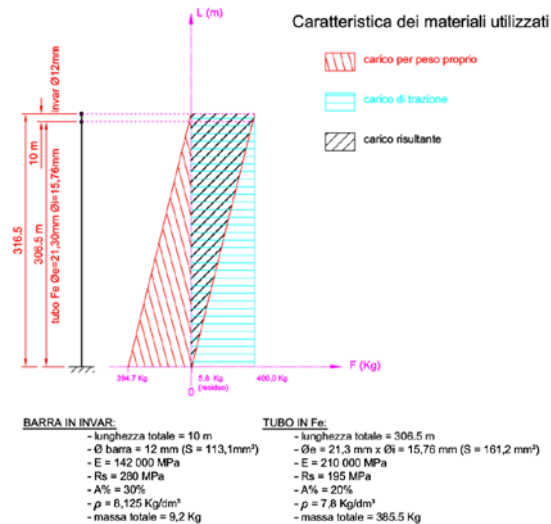
Un nuovo spurgo è stato fatto a fine settembre 2014, controllando accuratamente piezometri e trasduttori. L'affidabilità di questi ultimi, in particolare, è stata accertata facendo alcune misure manuali con freatimetro. Queste sono risultate del tutto in linea con le misure automatiche, consentendo di concludere che tutti i trasduttori erano perfettamente funzionanti e affidabili.

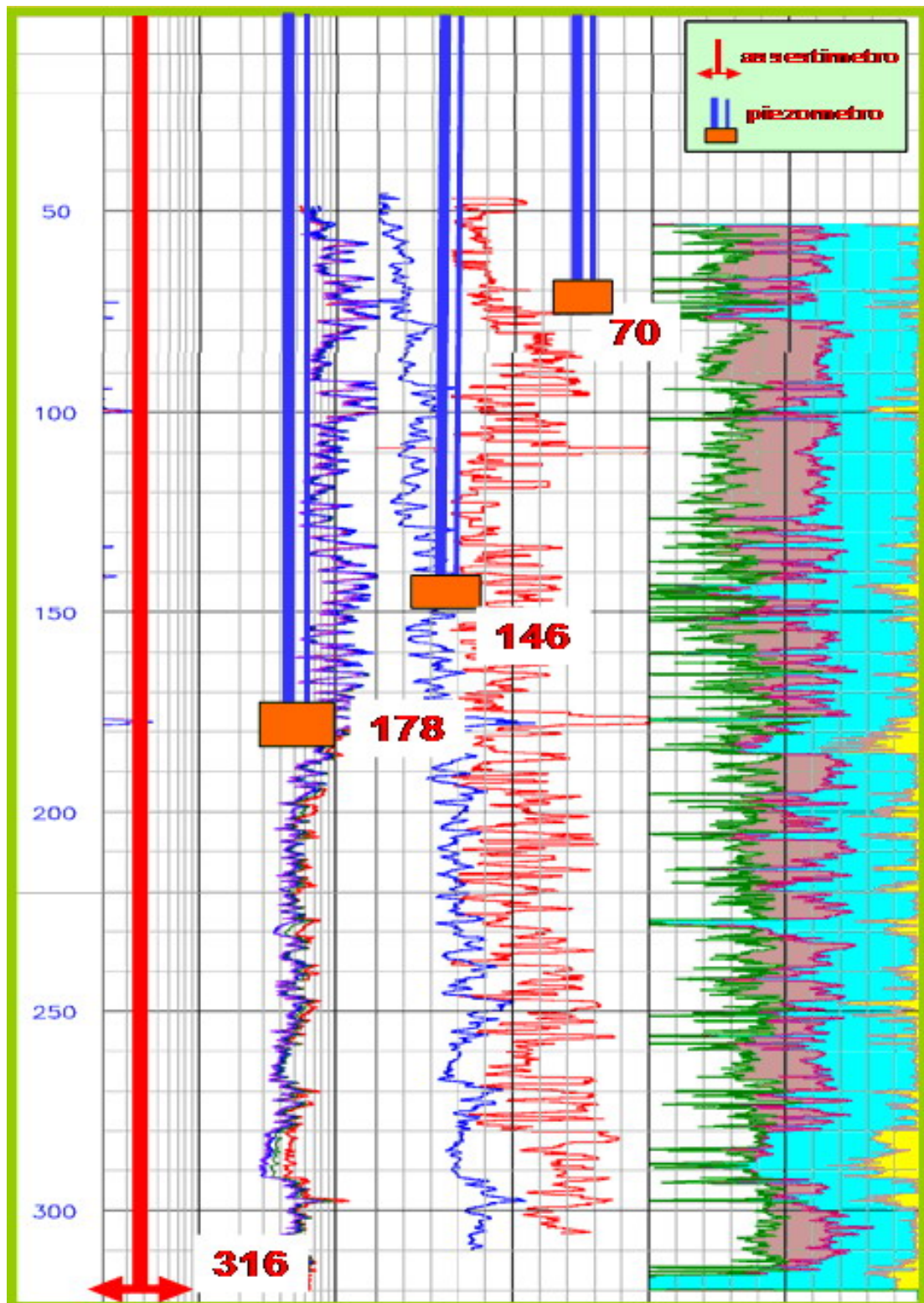
A dicembre 2015 si sono effettuati nuovi controlli manuali del livello delle falde acquifere, accertando una buona rispondenza con le misure automatiche. Tutti i trasduttori si sono, quindi, dimostrati perfettamente funzionanti e affidabili.



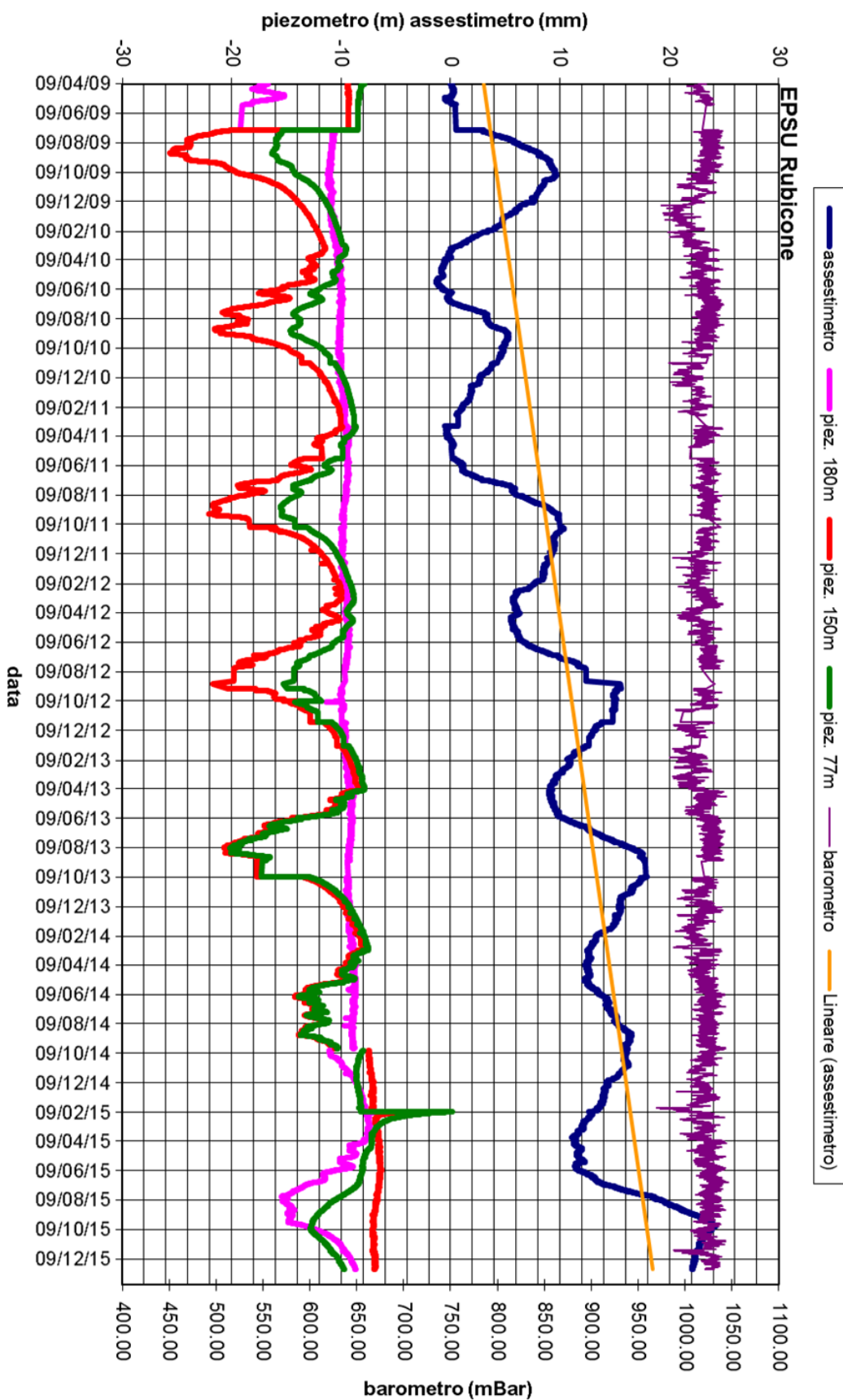
RUBICONE ASSESTIMETRO

- Modello di assestimetro costituito da 49 aste in ferro da 6m ed ultimi 10m da aste in Invar con 12 giunti telescopici e con bocche a scorrimento assiale.
- Ancoraggio base assestimetro a 320m da p.c. .
- La forza imposta dal sistema a bilanciere sull'asta di misura ha direzione verticale verso l'alto e modulo di poco superiore al peso proprio della batteria d'asta, peso aste 397Kg, peso zavorra 427Kg.





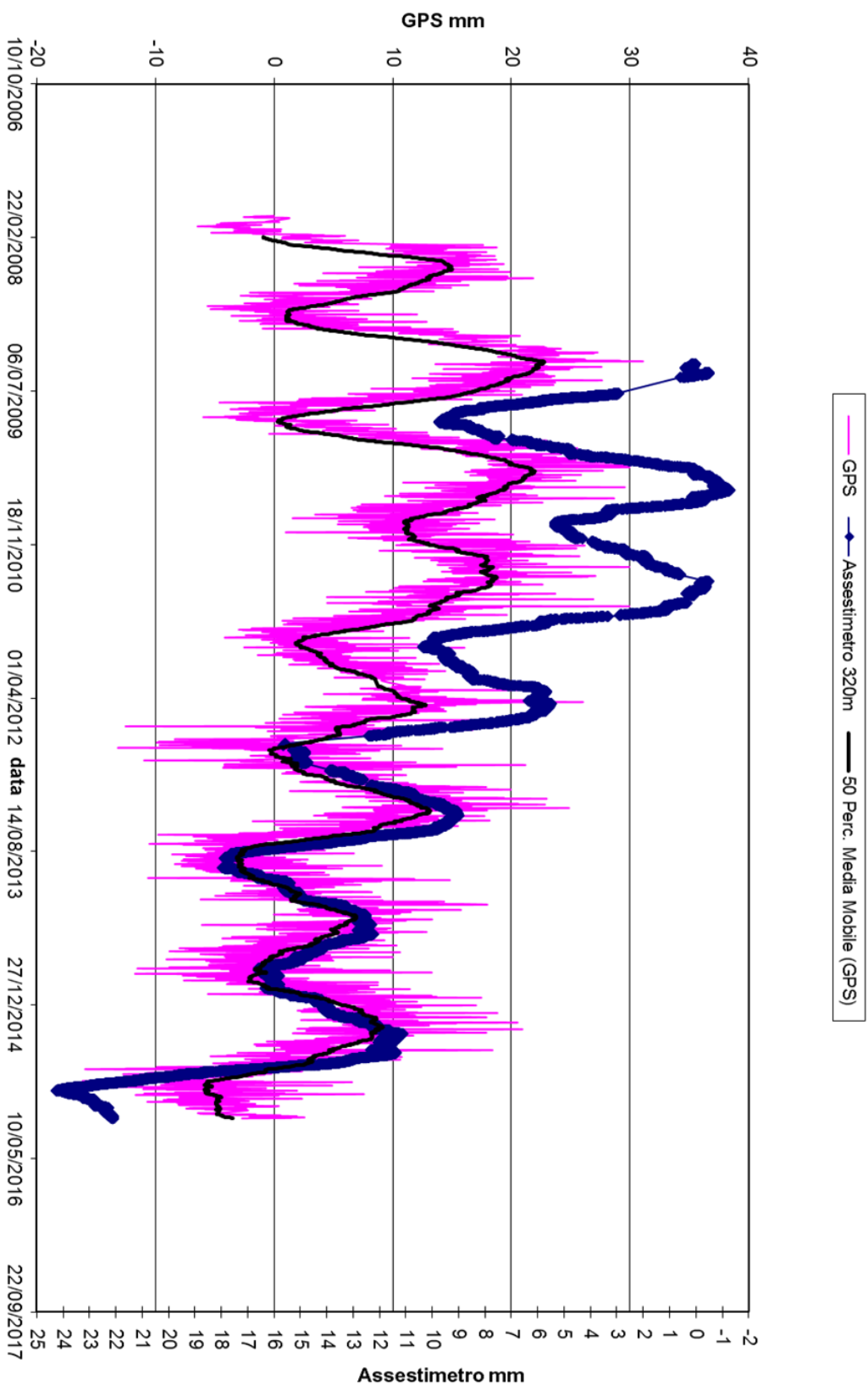
Le curve rappresentano i logs litologico-petrofisici tramite cui è stata ricostruita la serie stratigrafica del suolo attraversato.



L'assestimetro misura cedimenti del terreno rispetto all'ancoraggio profondo
valori positivi = abbassamento
valori negativi = sollevamento



RUBICONE - Confronto GPS ed assestimetro profondo



Nel grafico per meglio apprezzare le modulazioni della curva GPS questa è stata filtrata con una media mobile su 50 campioni. Per comodità la curva assestimetrica è stata graficata con i valori in ordine inverso, in modo da renderla coerente con le modulazioni del GPS (spostamenti delle curve verso l'alto indicano sollevamenti del terreno e viceversa)



Stazione EPSU di FALCONARA (installata ottobre 2008)

Strumentazione:

- assestimetro - quota bottom: 40,3 m da p.c.
- piezometro a cella singola – quota cella: 22 m da p.c.

La raccolta dati di questa stazione è iniziata il 16 ottobre 2008. A tale data (in occasione del collaudo) è stato fatto “lo zero” dei sensori di misura.

L’acquisizione dati è stata fatta con regolarità secondo la seguente frequenza:

- 16 ottobre 2008 - 18 maggio 2009 una misura ogni ora,
- 8 maggio 2009 - 31 dicembre 2014 una misura ogni 6 ore.

Nei periodi 7 ottobre 2011 - 2 novembre 2011 e 3 dicembre - 13 dicembre 2011 si è avuto un problema d’alimentazione all’apparecchiatura d’acquisizione automatica dei dati, con conseguente mancata registrazione degli stessi. Identico problema si è verificato tra febbraio e aprile 2012; si è perciò sostituito parte dell’hardware del sistema d’acquisizione.

L’ultima verifica generale della strumentazione, con controlli manuali dei livelli piezometrici e taratura di tutti i sensori, è stata effettuata nel dicembre 2015.

Analisi dei dati assestimetrici

L’assestimetro misura la compattazione degli strati di terreno compresi tra il piano di campagna (p.c.) e il punto più profondo d’ancoraggio dello strumento (40,3 m da p.c.).

Nei grafici allegati sono riportati sia i dati piezometrici, sia quelli assestimetrici per un confronto relativo. I dati relativi all’assestimetro sono espressi in millimetri e riportano gli spostamenti misurati rispetto a un valore base iniziale (“misura di zero”). Tale misura è quella del 16 ottobre 2008, data di collaudo del sistema. Valori positivi degli spostamenti nel grafico dell’assestimetro indicano, quindi, una compattazione e, viceversa, valori negativi un incremento dello spessore (i.e. espansione) degli strati di terreno monitorati.

Come nel caso della stazione di Rubicone, anche per quella di Falconara la variazione nel tempo delle misure assestimetriche è caratterizzata da una curva ad andamento oscillatorio



molto ben correlabile con le variazioni di livello della falda d'acqua monitorata a 22 metri di profondità dal piezometro.

L'assestometro, che reagisce quasi immediatamente, senza ritardi, all'escursione massima e minima annuale della falda, mostra, inoltre, uno stato del terreno assolutamente stabile, senza apprezzabile compattazione.

Identico andamento emerge dall'analisi delle misure di abbassamento/sollevamento del suolo della stazione CGPS installata in loco. La correlazione tra le due curve, assestimetrica e geodetica, è estremamente elevata, il loro sfasamento temporale è pressoché nullo e le "pulsazioni" (espansioni e compattazioni) del terreno (tutte di piccolissima entità) sono correlate alle variazioni di livello della falda acquifera.

Si segnala, inoltre, che per comodità di lettura del grafico:

- le misure del CGPS sono state filtrate con una media mobile su 50 campioni per meglio evidenziarne l'andamento;
- i valori della curva assestimetrica sono stati riportati in ordine inverso, così da renderne l'andamento coerente quello della curva GPS (spostamenti delle curve verso l'alto indicano sollevamenti del terreno e viceversa).

Analisi dei dati piezometrici

Nello stesso grafico dei dati assestimetrici, si è riportata la piezometria.

Nel grafico del piezometro l'ordinata è la quota piezometrica (in m), ovvero la profondità del livello dell'acqua all'interno del tubo piezometrico riferita al piano campagna. Nello stesso grafico (come seconda ordinata) è riportato il valore della pressione barometrica.

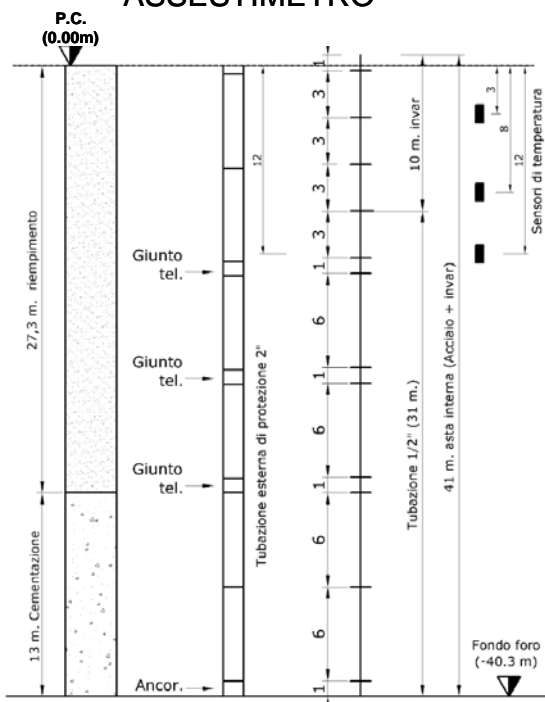
Nel caso di Falconara il livello della falda è risultato molto alto, circa 1,3 m da p.c. Dato che si sono utilizzati 2 trasduttori di pressione - uno per ogni canna del piezometro Casagrande - si è in grado di controllare l'attendibilità delle misure.

Nel dicembre del 2015 si è fatta la manutenzione dei piezometri. In tale occasione si è misurato manualmente con un freatometro il livello della falda per verificare la qualità delle misure registrate dai trasduttori. Le differenze riscontrate sono risultate sempre molto piccole, dell'ordine di 2-3 cm, per cui i piezometri sono da considerarsi affidabili e funzionanti.

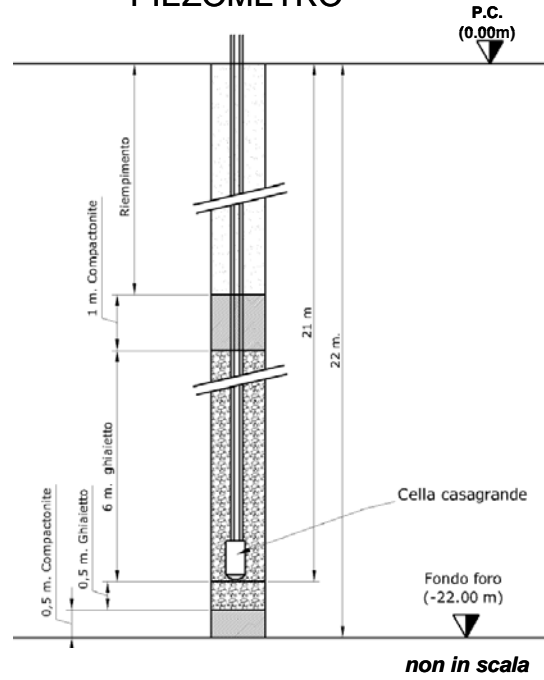


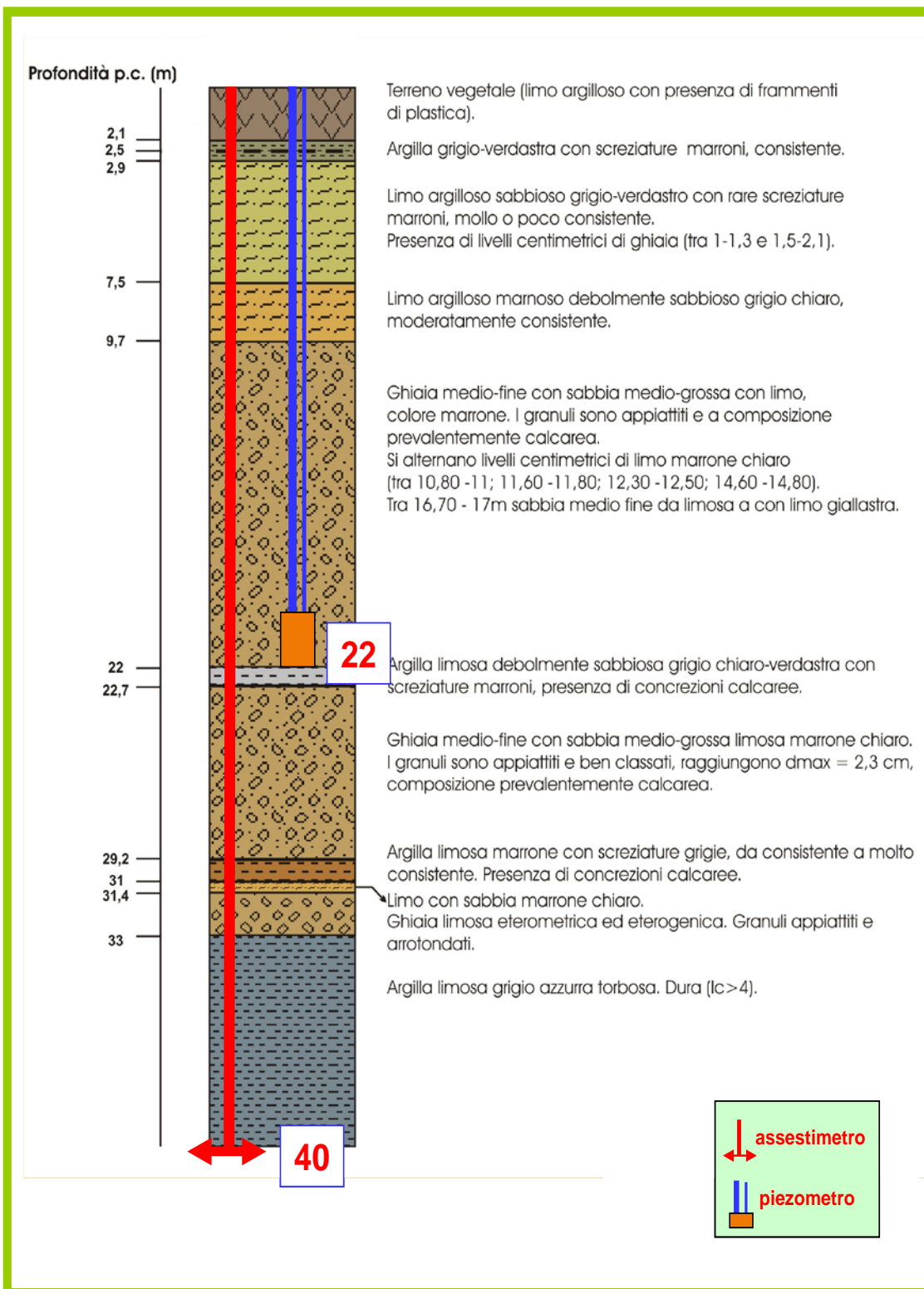
FALCONARA

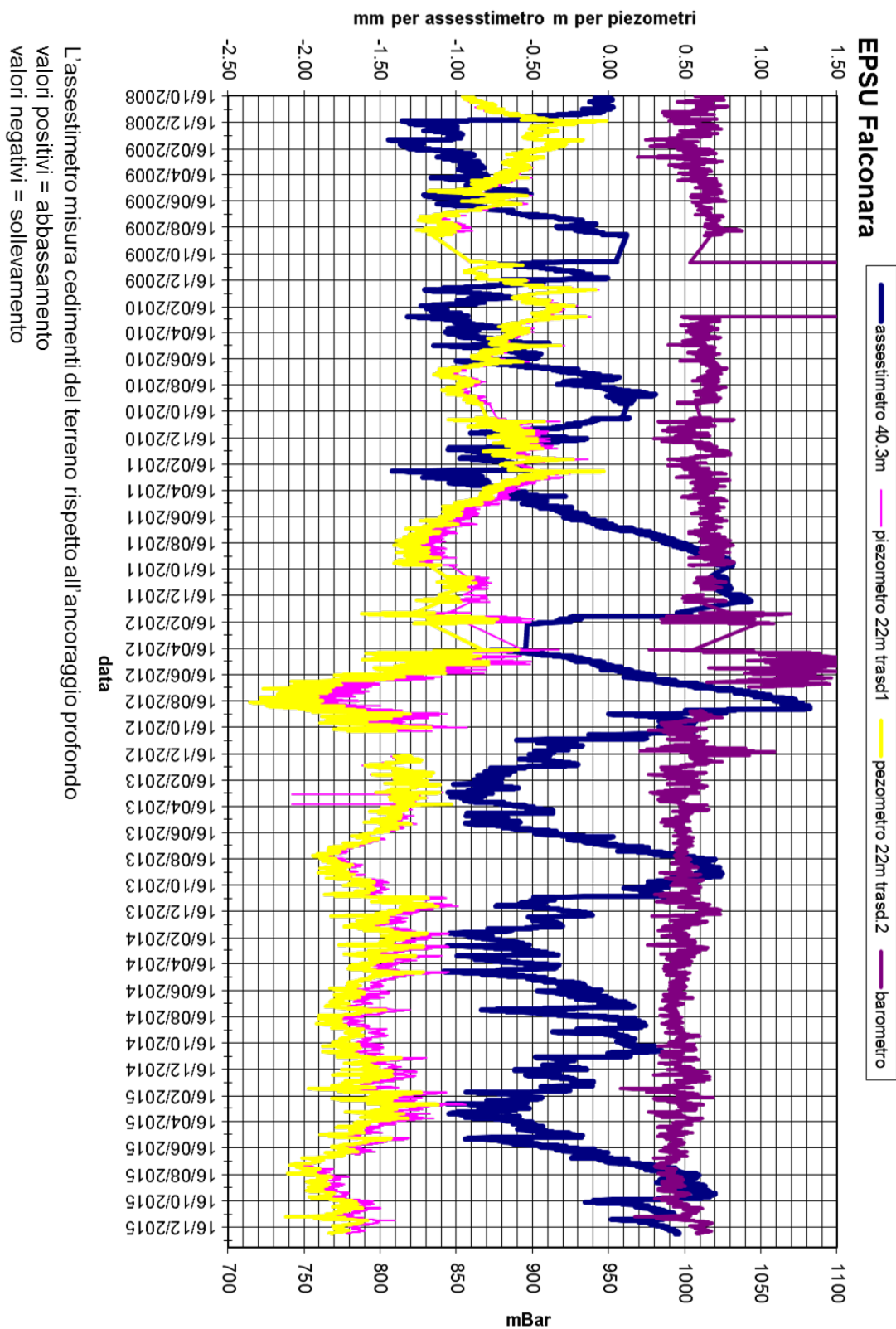
ASSESTIMETRO



PIEZOMETRO

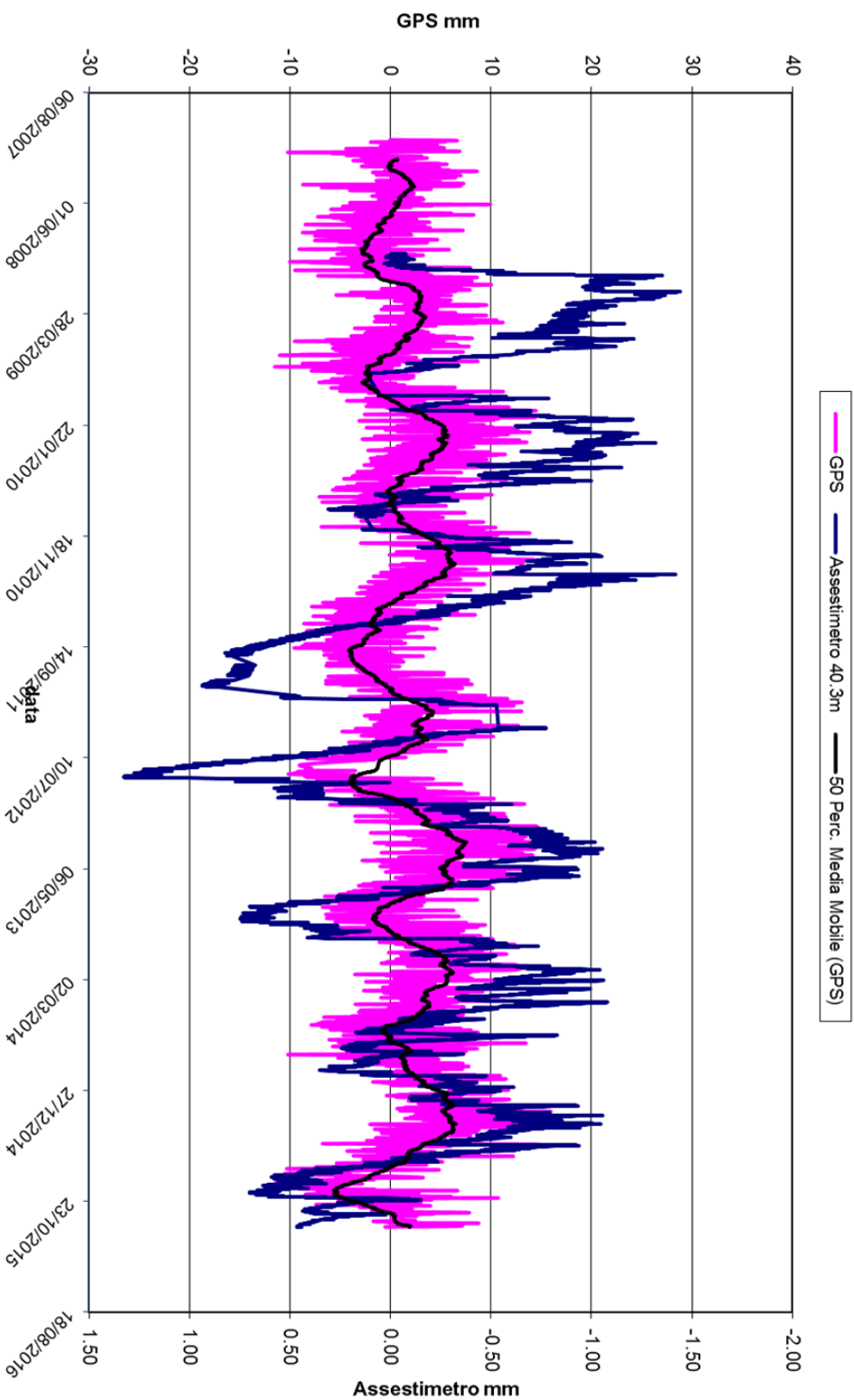








FALCONARA - Confronto GPS ed assestimetro superficiale



Nel grafico per meglio apprezzare le modulazioni della curva GPS questa è stata filtrata con una media mobile su 50 campioni. Per comodità la curva assestimetrica è stata graficata con i valori in ordine inverso, in modo da renderla coerente con le modulazioni del GPS (spostamenti delle curve verso l'alto indicano sollevamenti del terreno e viceversa)



Stazione EPSU di FANO (installata ottobre 2008)

Strumentazione:

- assestimetro - quota bottom: 40,8 m da p.c.
- piezometro a cella singola: quota cella 6,1 m da p.c.

La raccolta dati di questa stazione è iniziata il 16 ottobre 2008. A tale data (in occasione del collaudo) è stato fatto “lo zero” per tutti i sensori di misura.

L’acquisizione dati è stata fatta con regolarità secondo la seguente frequenza:

- 16 ottobre 2008 - 18 maggio 2009 una misura ogni ora,
- 19 maggio 2009 - 31 dicembre 2014 una misura ogni 6 ore.

Nel periodo monitorato (10/2008 – 12/2014) non si sono notate anomalie né a livello sensoristico, né a livello di apparecchiatura d’acquisizione dati.

L’ultimo controllo generale della strumentazione, con misure manuali dei livelli piezometrici e taratura di tutti i sensori, è stato fatto nel dicembre 2015.

Analisi dei dati assestimetrici

L’assestimetro misura la compattazione degli strati di terreno compresi tra la superficie (p.c.) e il punto più profondo d’ancoraggio dello strumento (40,8 m da p.c.).

Nei grafici allegati sono riportati sia i dati piezometrici sia quelli assestimetrici per un confronto relativo. I dati relativi all’assestimetro sono espressi in millimetri e riportano gli spostamenti misurati rispetto a un valore base iniziale (“misura di zero”). Tale misura è quella del 16 ottobre 2008, data di collaudo del sistema. Valori positivi degli spostamenti nel grafico dell’assestimetro indicano, quindi, una compattazione e, viceversa, valori negativi un incremento dello spessore (i.e. espansione) degli strati di terreno monitorati.

Sin dall’inizio della sua installazione, lo strumento non ha mai fatto registrare significative variazioni di spessore (compattazioni o espansioni) della porzione di terreno monitorato. Tali escursioni - cicliche stagionali - sono dell’ordine di ± 1 mm, con una punta massima di



compattazione di circa 1,5 mm registrata all'inizio del 2012.

La curva assestimetrica, inoltre, si correla bene con l'andamento del livello della falda acquifera monitorata dal piezometro a 6 m dal piano campagna, anche se con uno sfasamento temporale (ritardo) di qualche mese.

Nel corso del 2015 si è assistito a un ciclo simile agli anni precedenti, senza significative variazioni; una compattazione di circa 1 mm a inizio anno è stata quasi del tutto recuperata da una successiva espansione estiva, per attestarsi poi intorno a circa 1 mm (nuova compattazione) a fine anno.

In questi primi cicli, quindi, le misure di questa stazione, analogamente a quelle di Falconara, mostrano una situazione del terreno sostanzialmente stabile, con una compattazione complessiva di circa di 1 mm in poco più di 7 anni di osservazione.

Un comportamento del terreno pressoché identico è registrato dal CGPS ubicato in prossimità della stazione EPSU. Le misure GPS danno, infatti, la superficie del suolo in leggero innalzamento con velocità media di ca. 0,35 mm/a.

L'esame comparato delle due serie di misure (assestimetriche e geodetiche GPS) mostra come queste abbiano gli stessi andamenti oscillatori ma sfasati nel tempo. In particolare la curva assestimetrica sembra essere ritardata di ca. 4-5 mesi rispetto a quella geodetica. È bene osservare, però, che si tratta di movimenti del suolo di bassissima entità, per cui si è al limite del potere risolutivo delle due tecniche di misura.

Passando al confronto con la piezometria, si nota che entrambe le curve - assestimetrica e geodetica GPS - mostrano una certa correlazione con gli andamenti stagionali della falda.

La curva assestimetrica si presenta, però, sfasata anche rispetto a quella piezometrica, raggiungendo il minimo circa tre mesi dopo il massimo del livello piezometrico. Questo comportamento potrebbe essere spiegato dal ritardo con cui si contrae o rigonfia un grosso strato d'argilla (ca. 32 m) quando varia la sua saturazione in acqua. La presenza di tale strato d'argilla è stata rilevata durante la perforazione del foro assestimetrico.

La curva dei dati GPS sembra invece più pronta a registrare in superficie i movimenti d'espansione e contrazione degli strati di terreno generati dalle variazioni del livello d'acqua nella falda. Va però notato che l'ubicazione dell'antenna CGPS (stazione SSU) dista circa 150-200 m dalla stazione EPSU, e probabilmente il terreno su cui è stata installata ha una



stratigrafia caratterizzata da una minore presenza di livelli argillosi.

Si segnala, inoltre, che per comodità di lettura del grafico:

- le misure del CGPS sono state filtrate con una media mobile su 50 campioni per meglio evidenziarne l'andamento;
- i valori della curva assestimetrica sono stati riportati in ordine inverso, così da renderne l'andamento coerente quello della curva GPS (spostamenti delle curve verso l'alto indicano sollevamenti del terreno e viceversa).

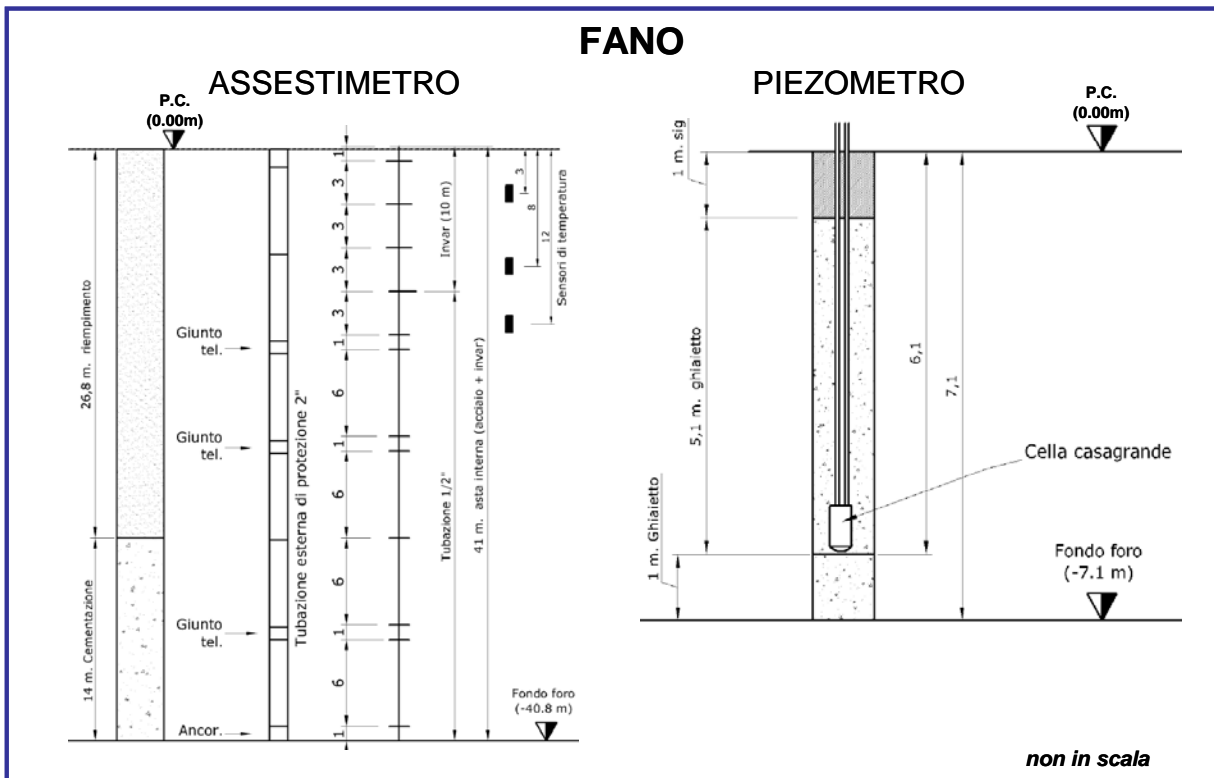
Analisi dei dati piezometrici

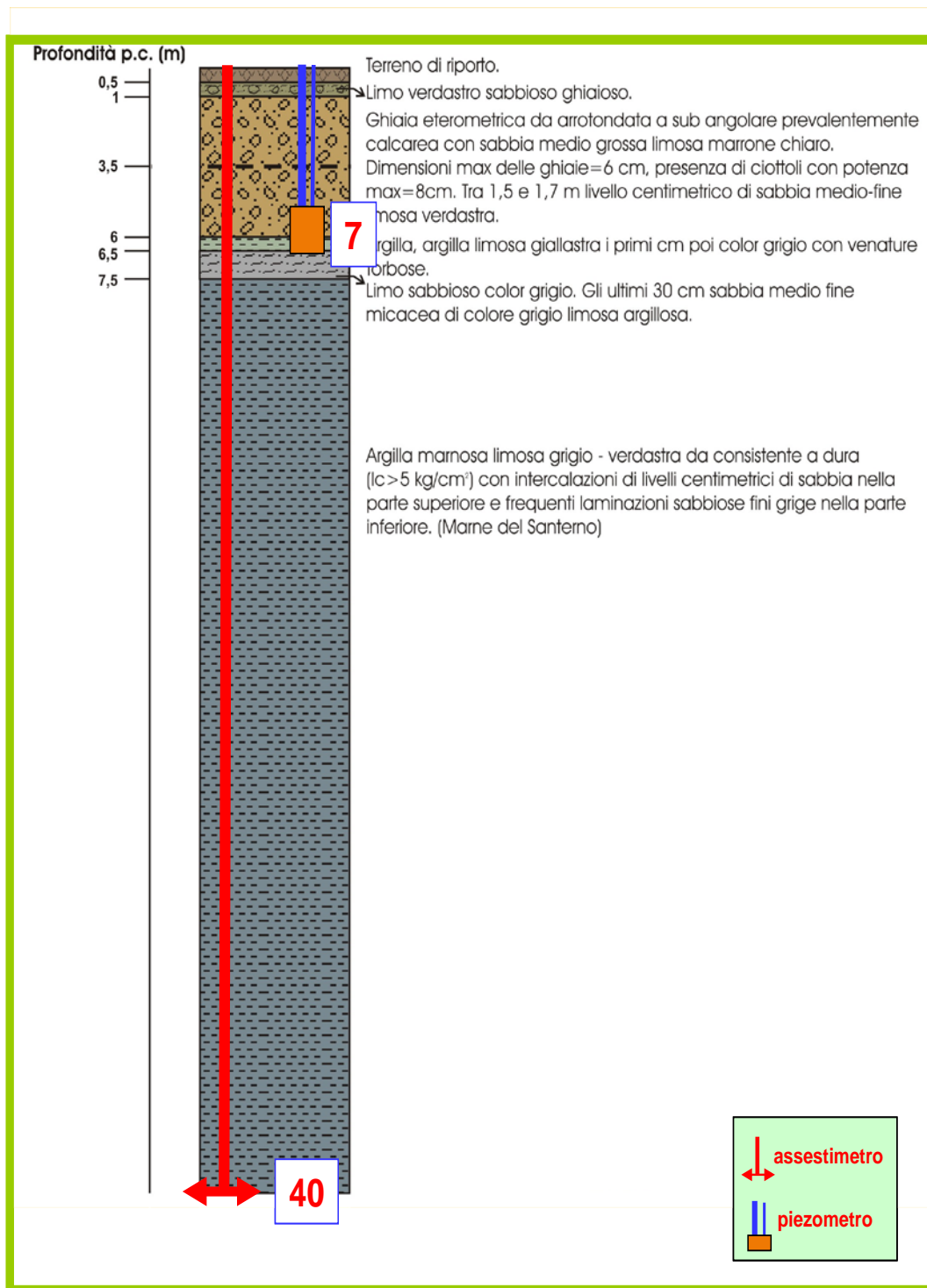
Nello stesso grafico dei dati assestimetrici si è riportata la piezometria.

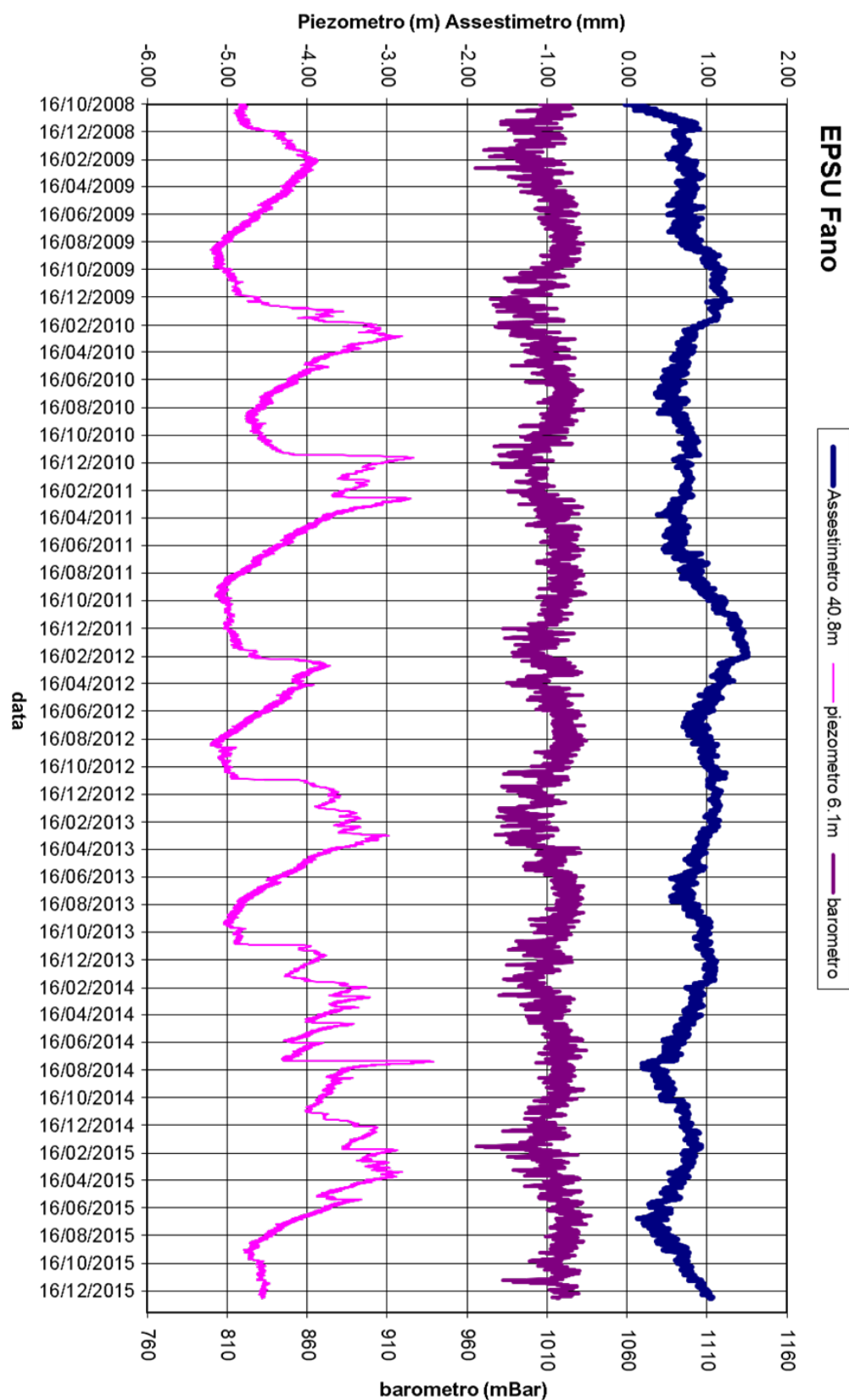
Nel grafico del piezometro l'ordinata è la quota piezometrica (in m), ovvero la profondità del livello dell'acqua all'interno del tubo piezometrico riferita al piano campagna. Nello stesso grafico (come seconda ordinata) è riportato il valore della pressione barometrica.

L'installazione di due trasduttori di pressione, uno per ogni canna del piezometro Casa-grande, rende possibile controllare il grado di affidabilità del piezometro stesso. In questo caso la differenza di misura tra i due sensori è stata di circa ± 8 cm, il che rientra nella normale tolleranza dello strumento.

L'ultimo controllo generale della strumentazione, con controlli manuali dei livelli piezometrici e taratura di tutti i sensori, è stato fatto nel dicembre 2015.



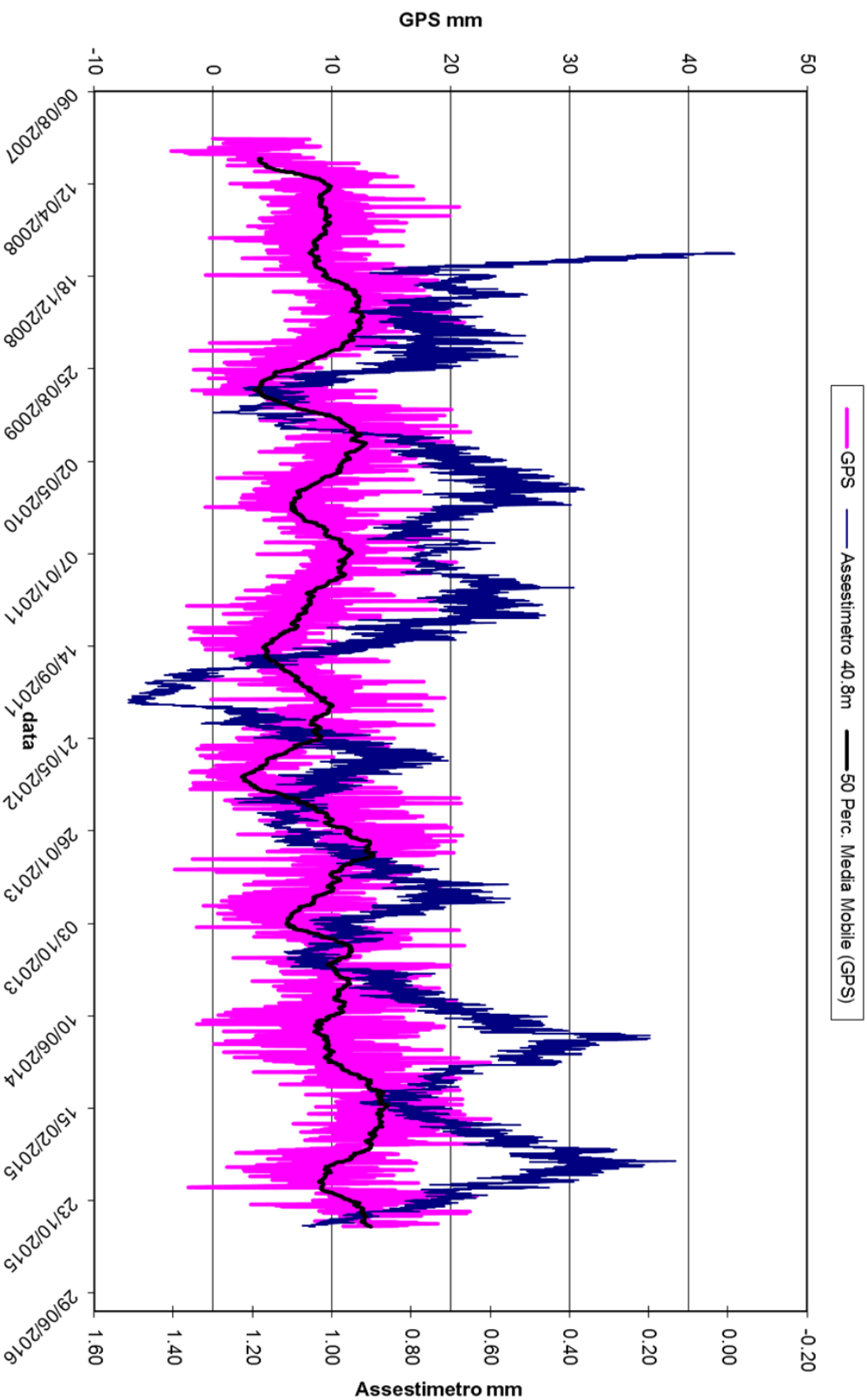




L'assestimetro misura cedimenti del terreno rispetto all'ancoraggio profondo
valori positivi = abbassamento
valori negativi = sollevamento



FANO - Confronto GPS ed assestimetro superficiale



Nel grafico per meglio apprezzare le modulazioni della curva GPS questa è stata filtrata con una media mobile su 50 campioni. Per comodità la curva assestimetrica è stata graficata con i valori in ordine inverso, in modo da renderla coerente con le modulazioni del GPS (spostamenti delle curve verso l'alto indicano sollevamenti del terreno e viceversa)



Conclusioni

Dall'insieme dei dati sino ad ora raccolti nelle 3 stazioni EPSU si nota, in generale, una buona correlazione diretta tra l'andamento stagionale della piezometrica e la compattazione del terreno misurata dagli assestimetri.

Tale correlazione è più evidente nel caso di Falconara, dove il piezometro monitora le falde superficiali più sensibili a tutte le variazioni stagionali di piovosità.

Nel caso di Rubicone le variazioni stagionali sembrano essere monitorate solo dai 2 piezometri più superficiali (CGRP-2), mentre quello più profondo (CGRP-1) registra solo deboli variazioni di livello della falda, temporalmente sfasate rispetto all'andamento stagionale delle falde superiori. L'assestimetro di questa stazione, essendo il più profondo delle 3 EPSU, è anche quello che mostra una tendenza crescente nell'insieme delle misure di compattazione, registrando complessivamente 22,1 mm d'abbassamento totale del terreno in oltre 6 anni di funzionamento.

Nel caso di Fano, il trend delle curve piezometrica e assestimetrica è maggiormente influenzato dalla litologia attraversata dai pozzi, litologia che rende meno evidente la correlazione tra andamento stagionale del livello della falda e misure assestimetriche. Infatti, mentre il piezometro monitora le variazioni di livello della falda in uno strato ghiaioso-sabbioso superficiale (max. profondità 6 m dal p.c.), l'assestimetro è ancorato alla base di uno strato argilloso spesso circa 32 m e scarsamente comprimibile: lo strumento, infatti, nei circa 7 anni di funzionamento ha misurato una compattazione complessiva quasi nulla (1 mm circa).

Nella tabella seguente sono riportati i valori medi della compattazione (positiva) o espansione (negativa) del terreno e delle relative velocità ottenute dalle misure assestimetriche disponibili dall'inizio del funzionamento della strumentazione sino alla data del 31 dicembre 2015.

Si segnala che per le stazioni di Fano e Falconara le misure assestimetriche sono risultate molto basse, e che nel periodo d'osservazione non è emerso un trend ben definito di compattazione del terreno. In questo caso le medie annuali non si possono considerare veramente significative.



Sito	Anni di osservazione	Assestimetro profondo		Assestimetro superficiale	
		Spostamento compl. (mm)	Velocità (mm/a)	Spostamento compl. (mm)	Velocità (mm/a)
Rubicone	6,75	22,1	3,3	-	-
Fano	7,21	-	-	1,0	-
Falconara	7,21	-	-	0,4	-